

天文探测暗物质粒子

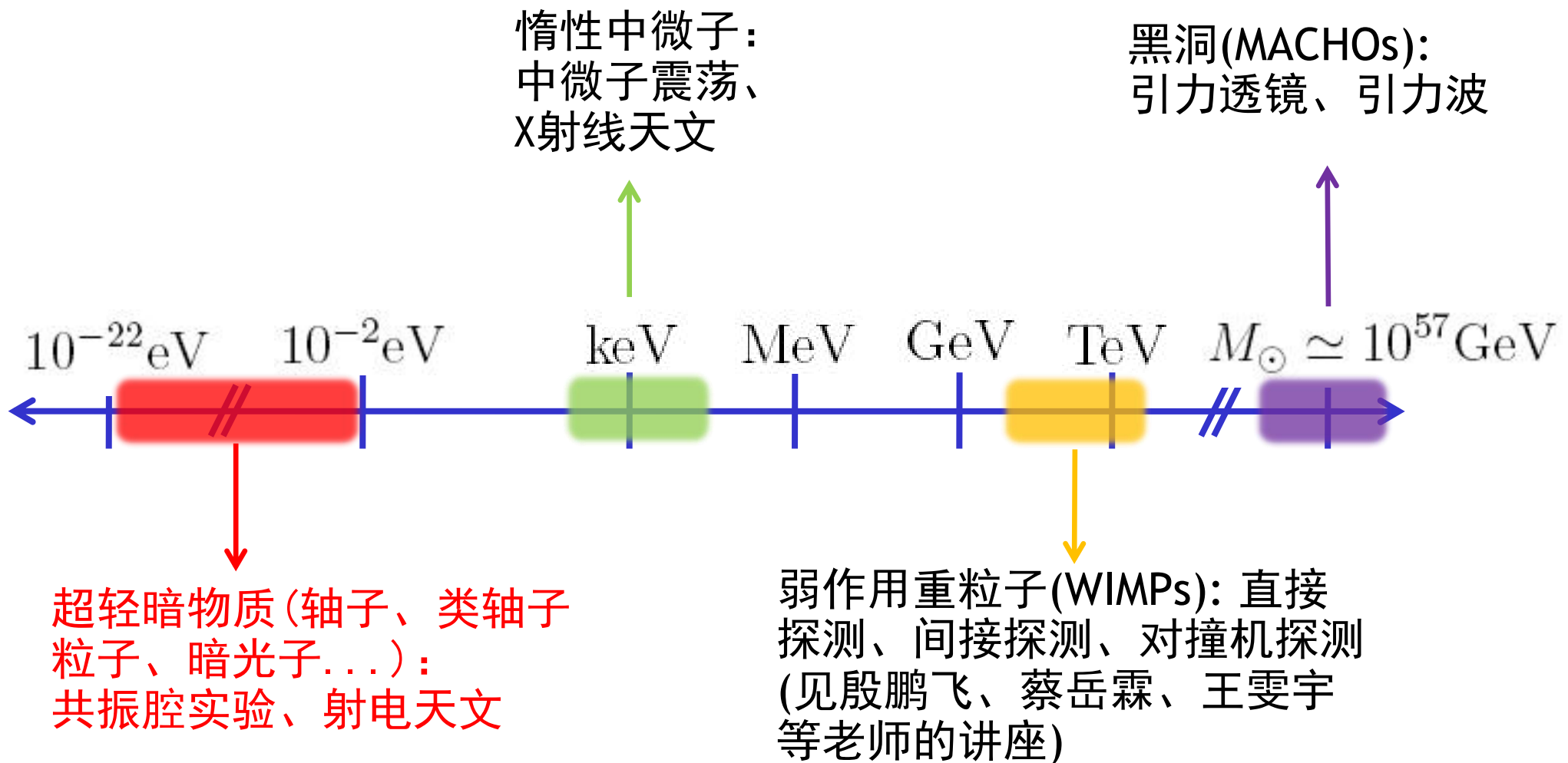
袁强

中国科学院紫金山天文台

2022.7.20-21

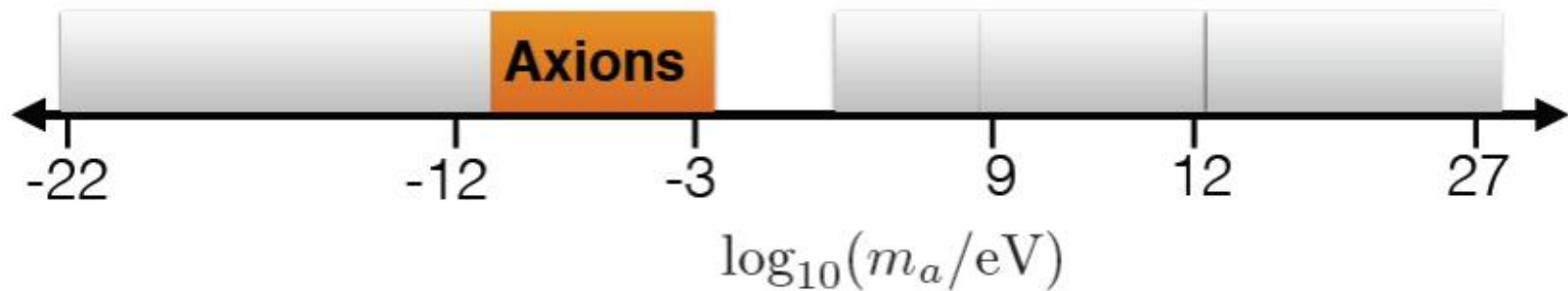
2022年理论物理前沿讲习班：暗物质与新物理暑期学校

理论学家眼中的暗物质



暗物质的实验探测极具挑战性，天文观测在多种形式暗物质候选体探测中起着非常重要的作用

轴子和类轴子粒子



- ◆ Invented to solve strong CP problem in Standard Model

$$\mathcal{L}_{\text{axion}} = - \left(\bar{\theta} + \frac{a}{f_a} \right) \frac{g^2}{32\pi^2} G_{\mu\nu} \tilde{G}^{\mu\nu} \quad (\text{neutron EDM} \propto \bar{\theta})$$

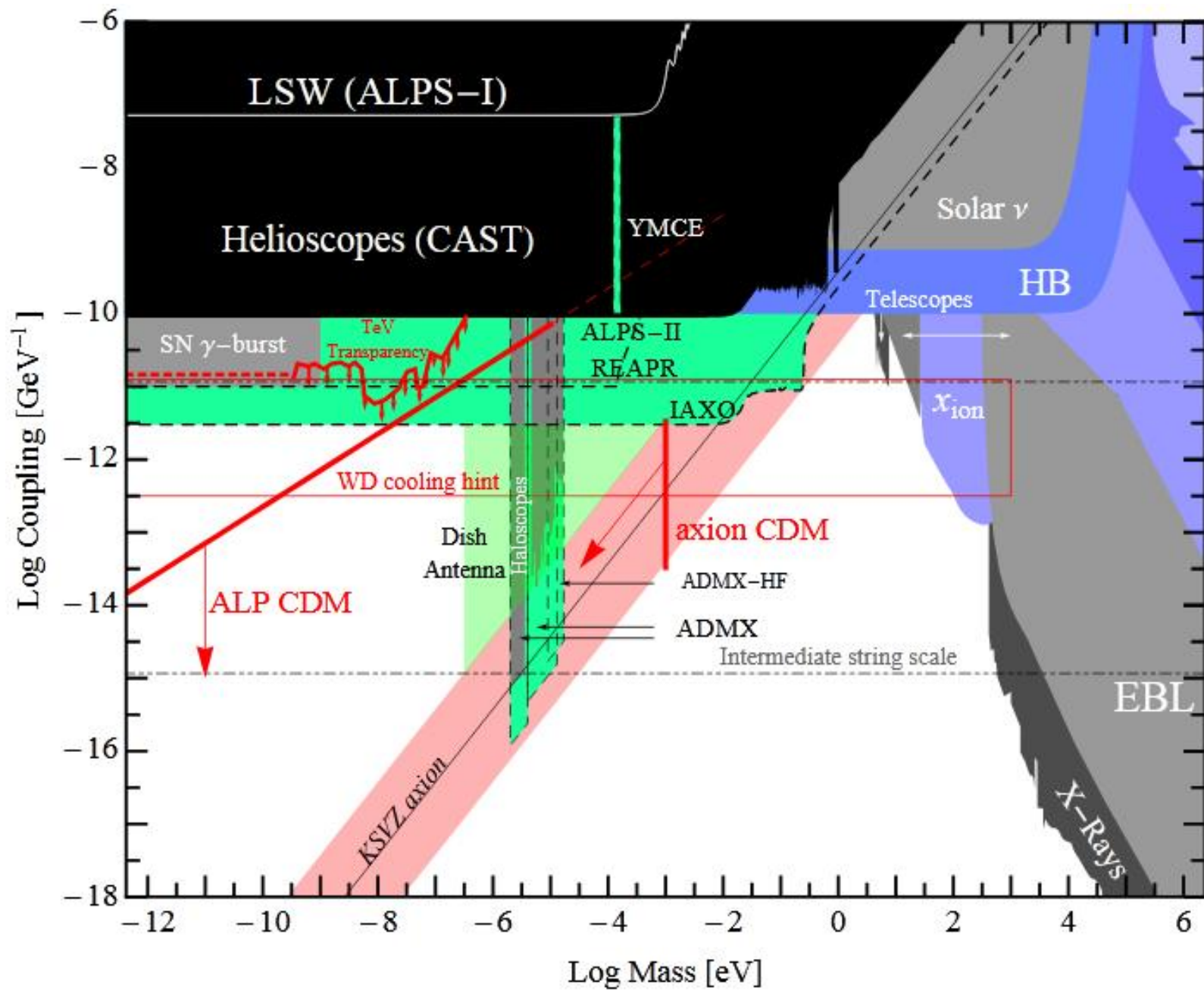
- ◆ QCD effect gives axion mass

$$m_a \approx \frac{f_\pi}{f_a} m_\pi \approx 10^{-9} \text{ eV} \left(\frac{10^{16} \text{ GeV}}{f_a} \right)$$

- ◆ Axion couples with electromagnetic field

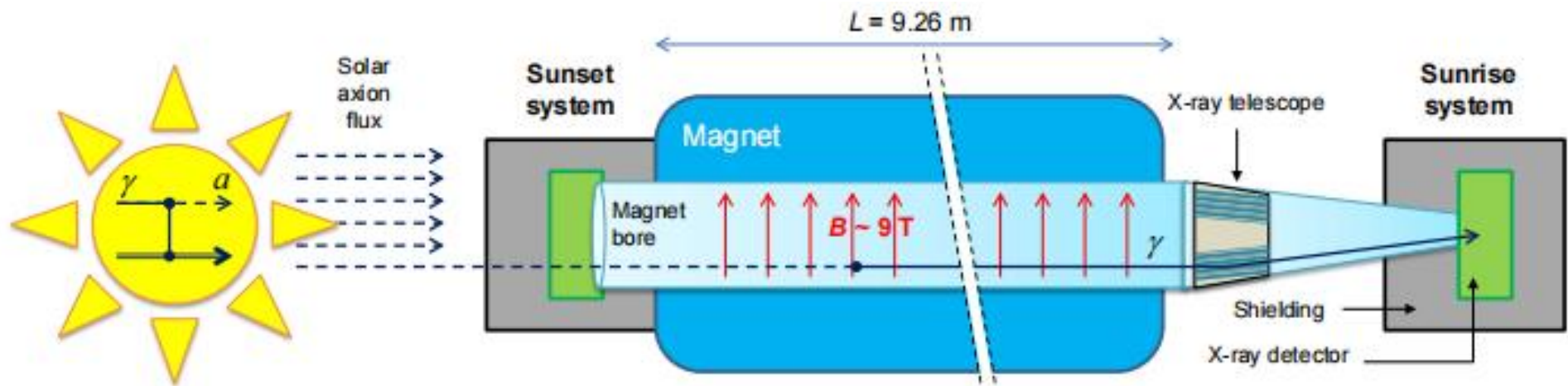
$$\mathcal{L} = -\frac{1}{4} g_{a\gamma\gamma} a F_{\mu\nu} \tilde{F}^{\mu\nu} \quad g_{a\gamma\gamma} \propto \frac{\alpha_{\text{EM}}}{f_a}$$

轴子/类轴子探测实验汇总



Essig et al., 1311.0029

轴子太阳望远镜CAST

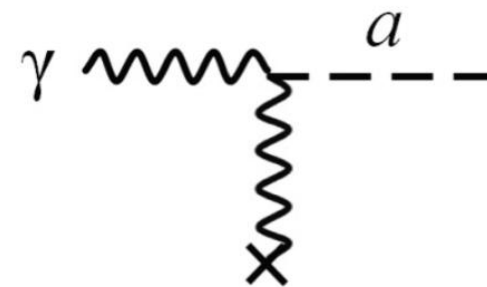
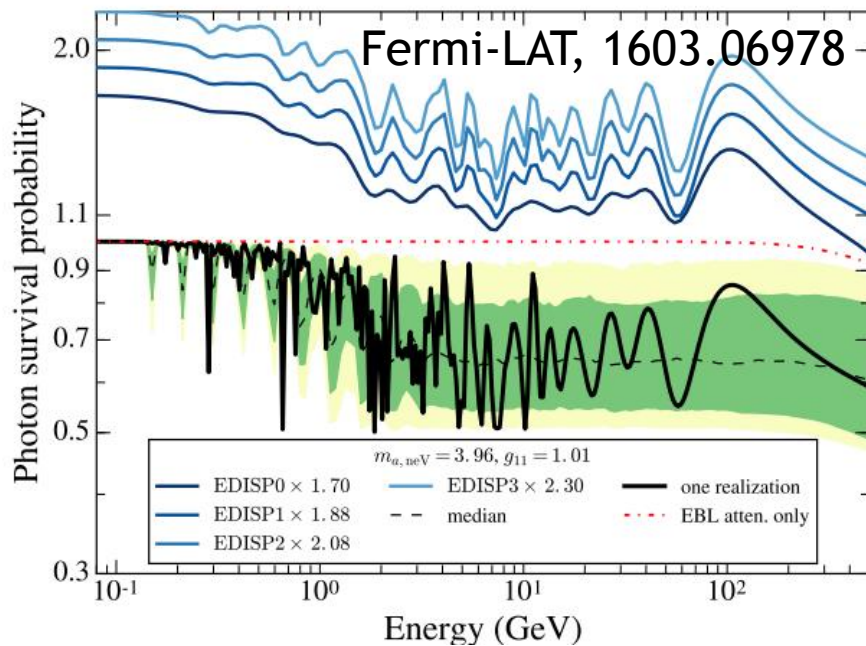


- 太阳内部存在大量的等离子体和光子，温度大约1-10 keV
- 光子在带电粒子库伦场中通过Primarkoff过程转化成为轴子

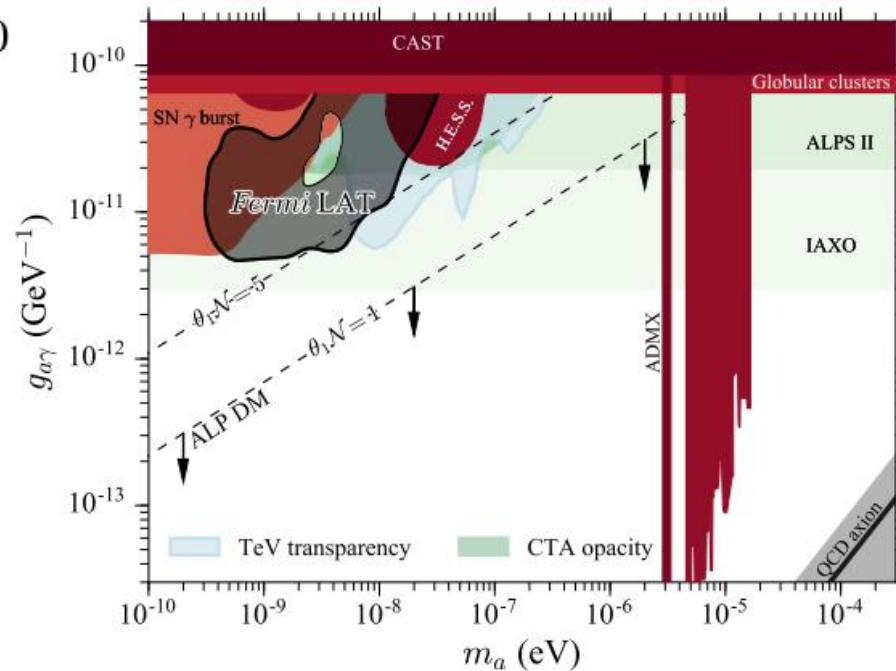
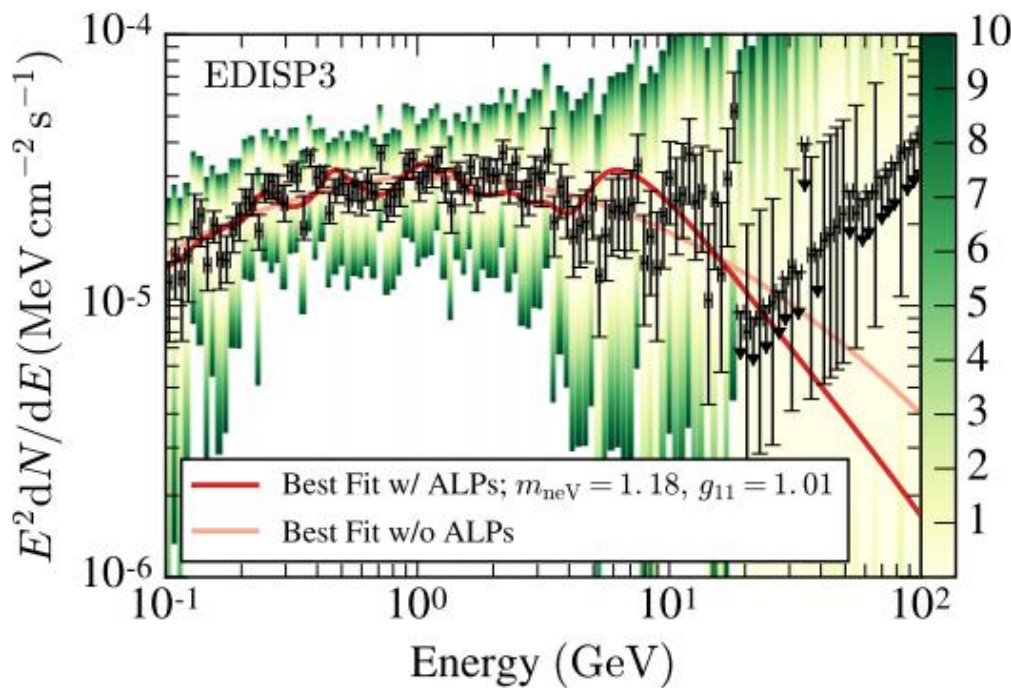
$$\frac{d\Phi_a}{dE} = 6.02 \times 10^{10} \text{ cm}^{-2} \text{ s}^{-1} \text{ keV}^{-1} g_{10}^2 E^{2.481} e^{-E/1.205}$$

- 在地球上加设磁场将太阳轴子再次转化成为X射线光子
- 通过X射线探测器加以探测

伽马射线探测轴子/类轴子粒子

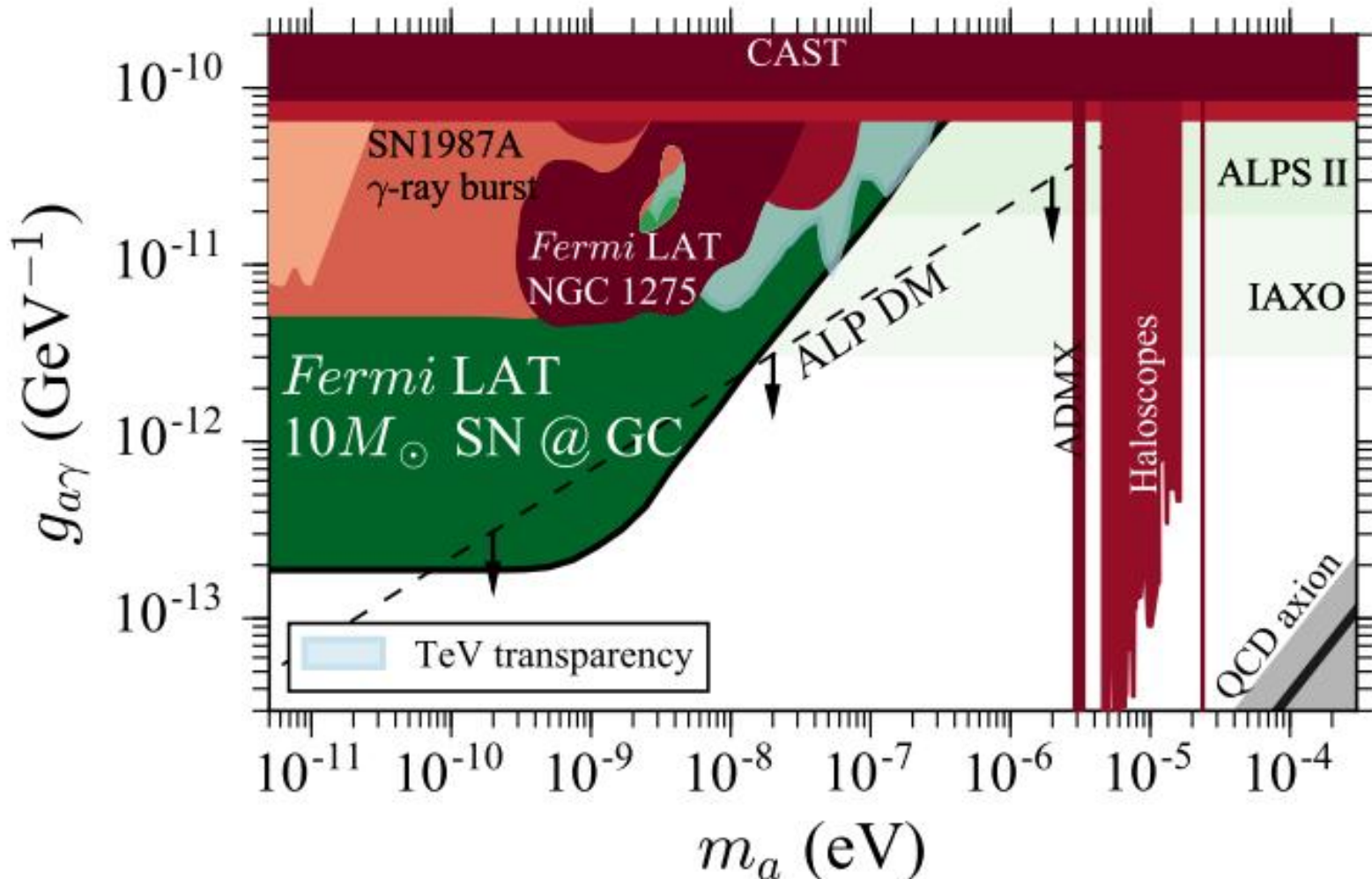


$$P_{\text{ALP}} = 1 - \frac{1}{1 + E_c^2/E_\gamma^2} \sin^2 \left[\frac{g_{a\gamma} B l}{2} \sqrt{1 + \frac{E_c^2}{E_\gamma^2}} \right]$$



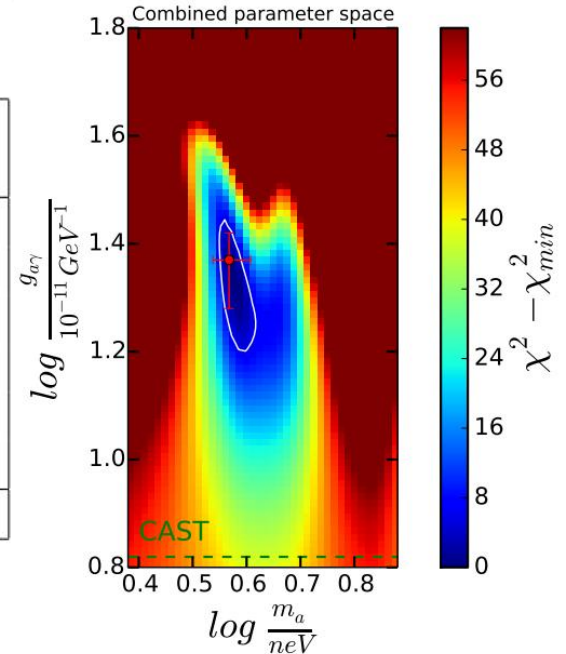
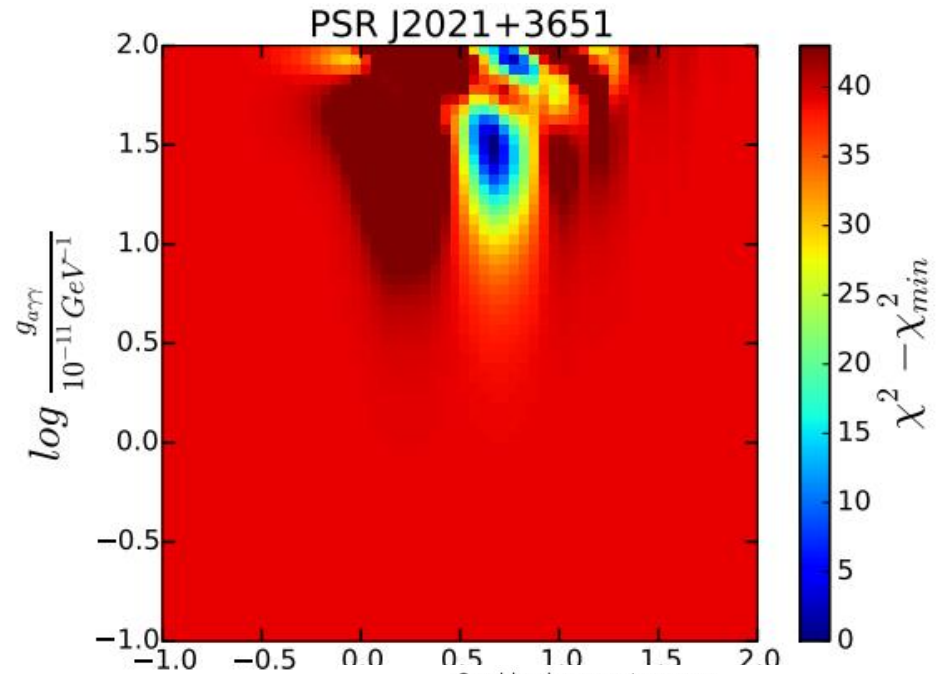
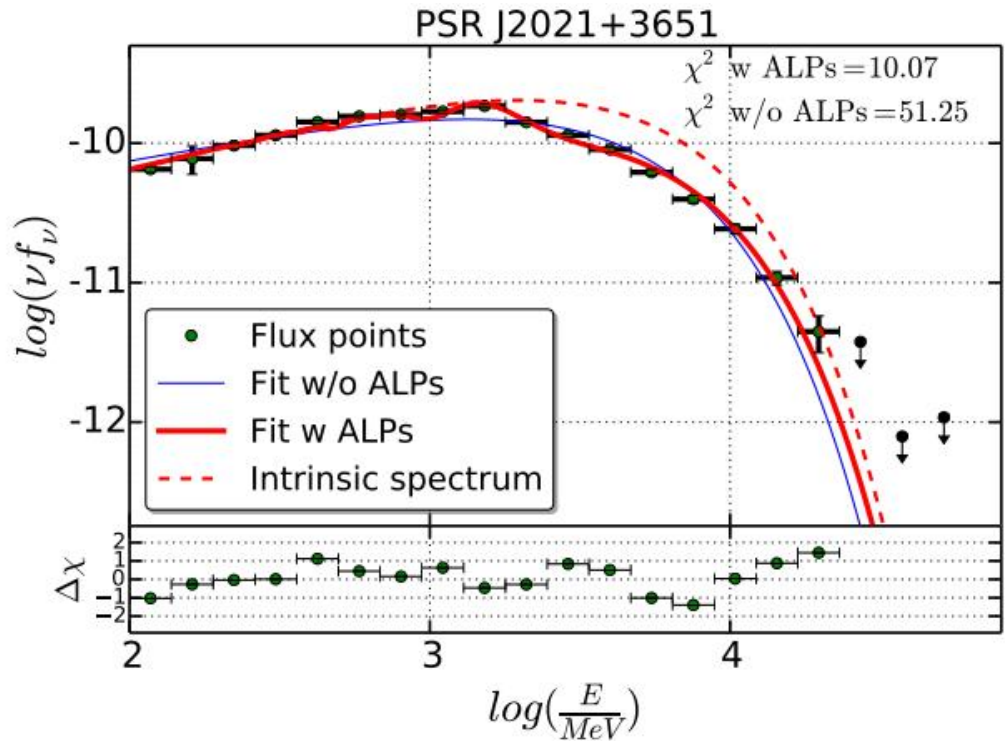
伽马射线探测轴子/类轴子粒子

arXiv:1609.02350



假设银河系中发生超新星爆发，Fermi-LAT将可以非常灵敏地探测来自轴子-光子振荡产生的伽马射线

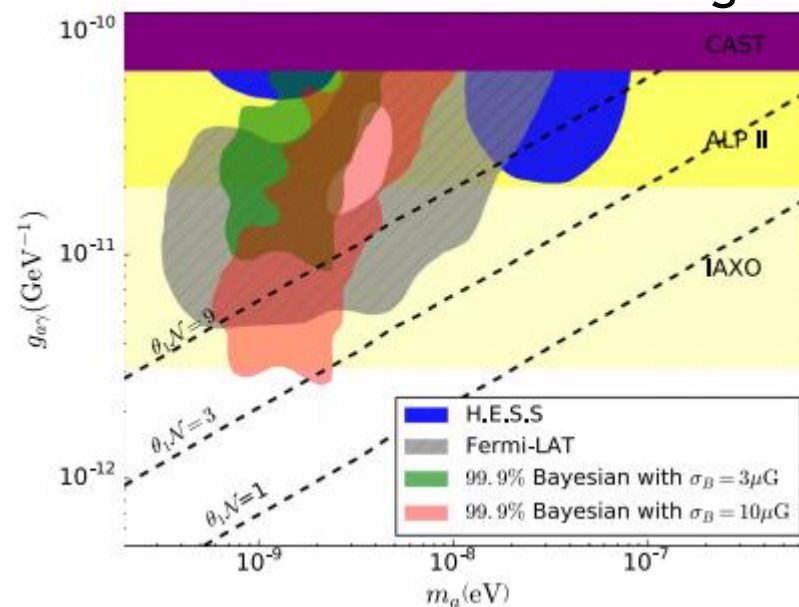
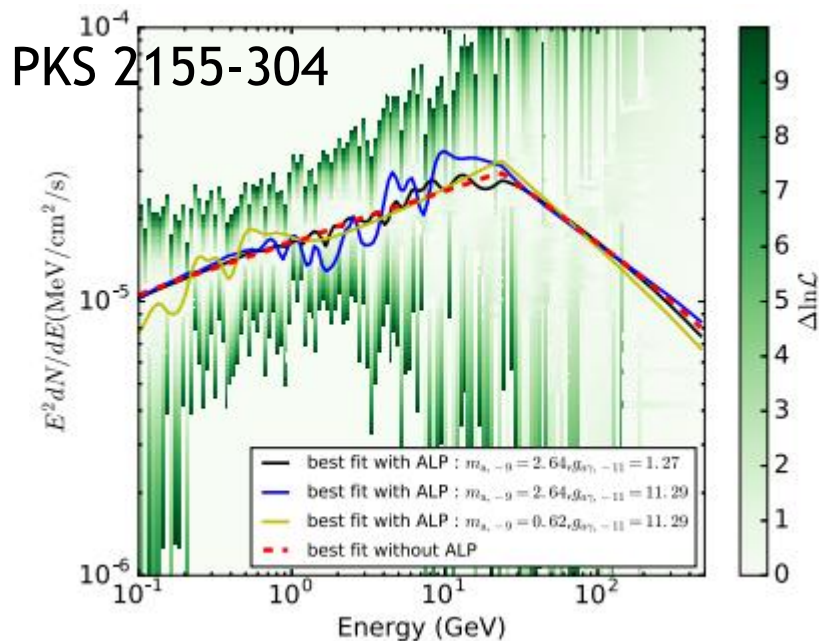
伽马射线探测轴子/类轴子粒子



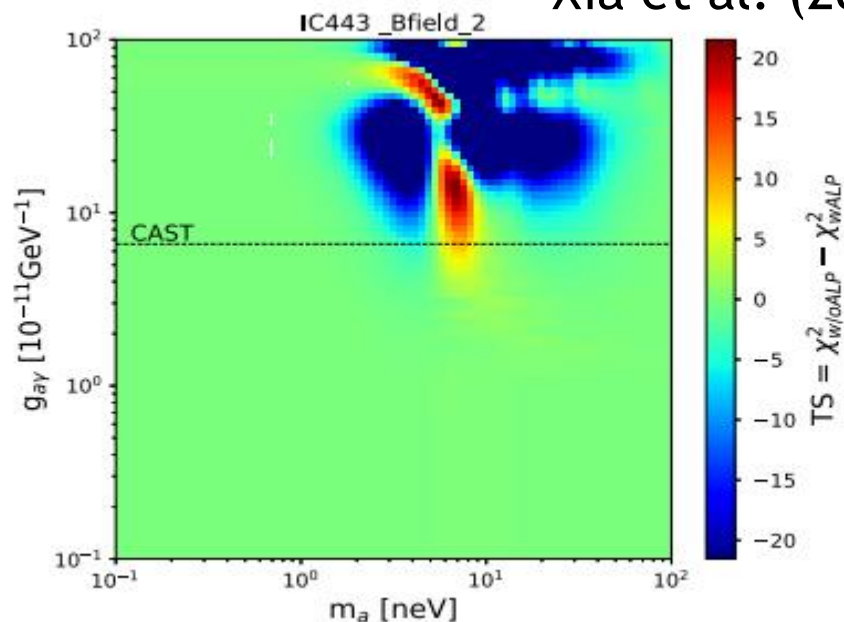
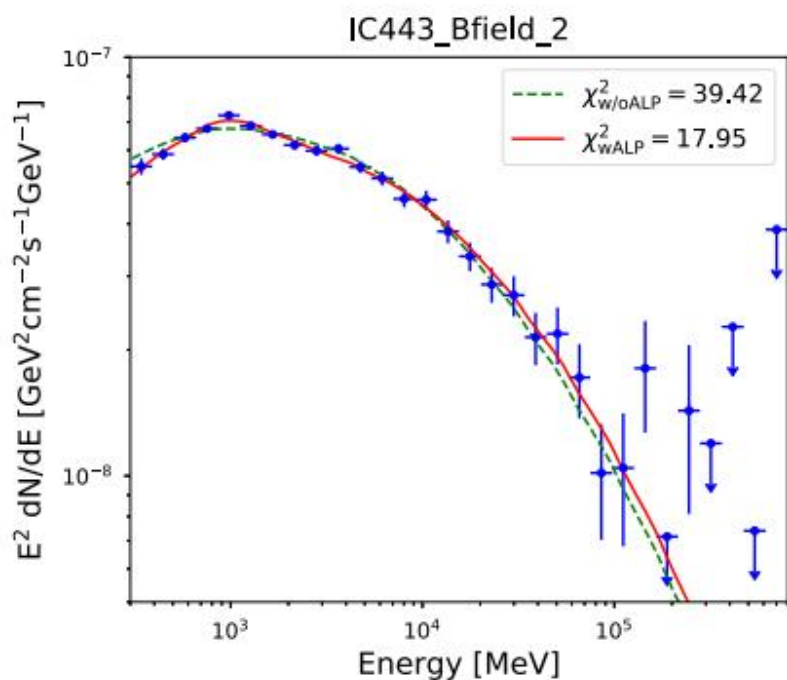
Pulsar name	$\chi^2(dof) H_0$	$\chi^2(dof) H_1$	Significance (H_1/H_0)	$\chi^2(dof) H_2$
J1420-6048	31.10(15)	21.27(13)	1.38 σ	22.46(15)
J1648-4611	47.15(14)	21.37(12)	2.38 σ	41.61(14)
J1702-4128	12.70(8)	3.57(6)	2.01 σ	8.54(8)
J1718-3825	53.57(15)	25.61(13)	2.40 σ	29.52(15)
J2021+3651	51.25(14)	10.07(12)	3.86 σ	41.85(14)
J2240+5832	19.66(11)	8.01(9)	2.11 σ	8.39(11)
Combined	215.42(77)	89.9(65)	5.52 σ	152.37(75)

伽马射线探测轴子/类轴子粒子

Zhang et al. (2018)

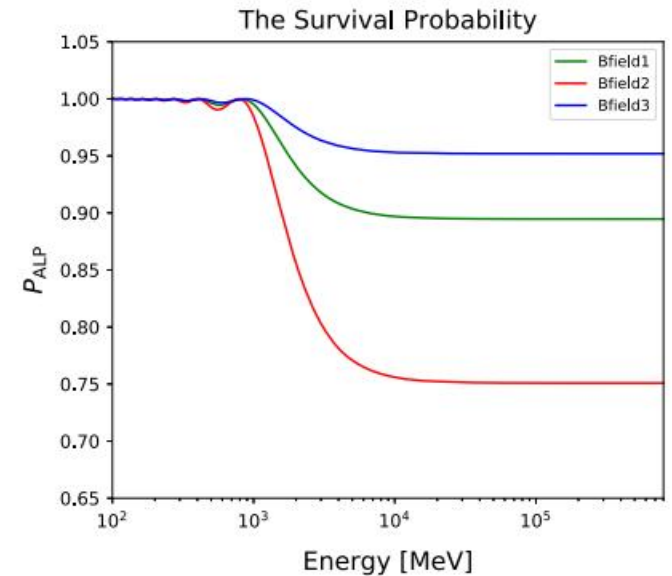


Xia et al. (2018)

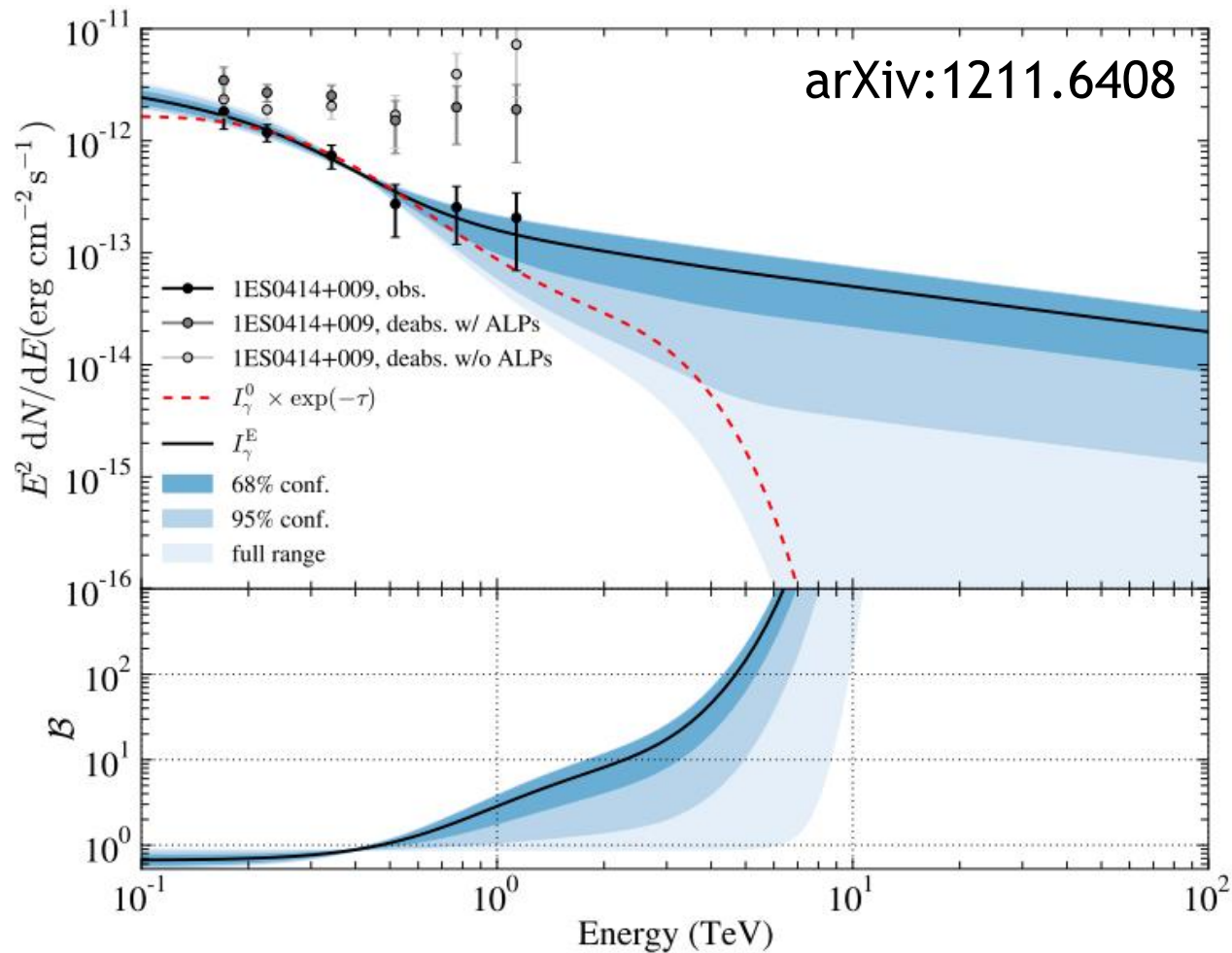


伽马射线探测轴子/类轴子粒子

- 轴子-光子振荡在伽马射线能谱上的影响主要是“压低”和“不规则波动”
- “压低”效应通常会和源的内禀性质以及传播吸收效应等简并，难以证认
- “不规则波动”对能量分辨率和数据统计量要求很高，Fermi卫星统计量大但能量分辨率较差($\sim 10\%$)，DAMPE卫星能量分辨率很高($\sim 1\%$)但统计量较低
- 天体磁场模型也是一项主要的系统误差来源



伽马射线探测轴子/类轴子粒子

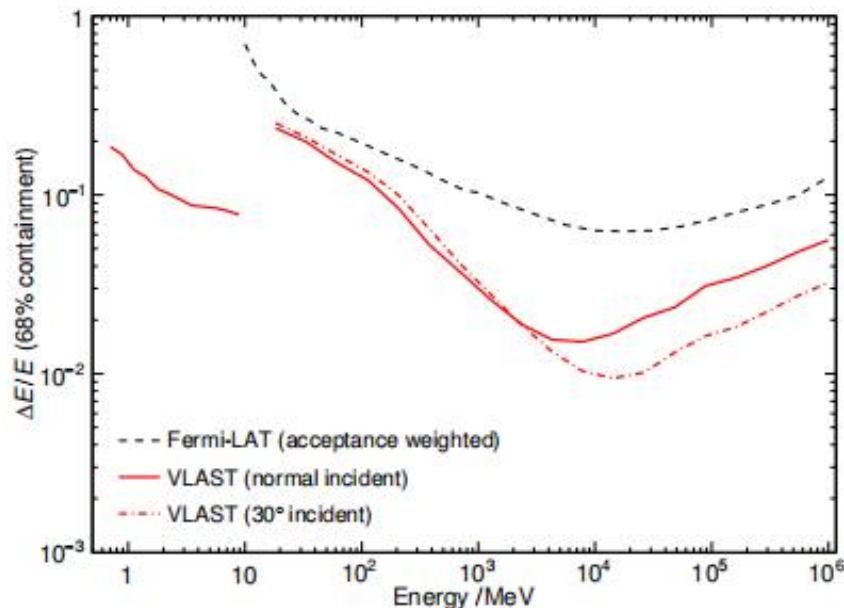
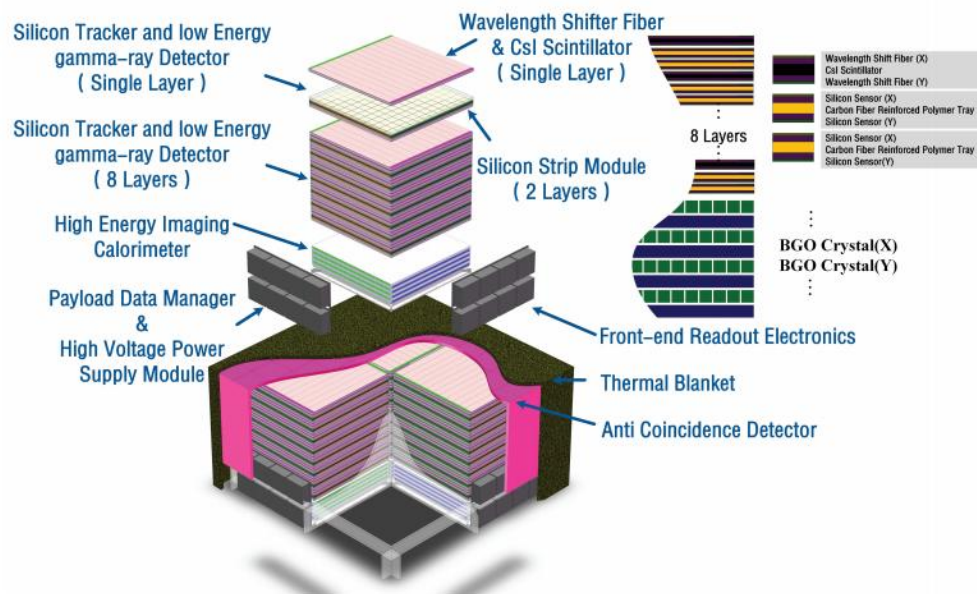


探测河外辐射源在超高能伽马射线波段的“反常超出”可能是一个行之有效的方法：能量越高由红外光学背景导致的吸收不透明度越高，光子-轴子转换可以有效增加伽马射线传播距离

doi: 10.15940/j.cnki.0001-5245.2022.03.002

甚大面积伽马射线空间望远镜计划*

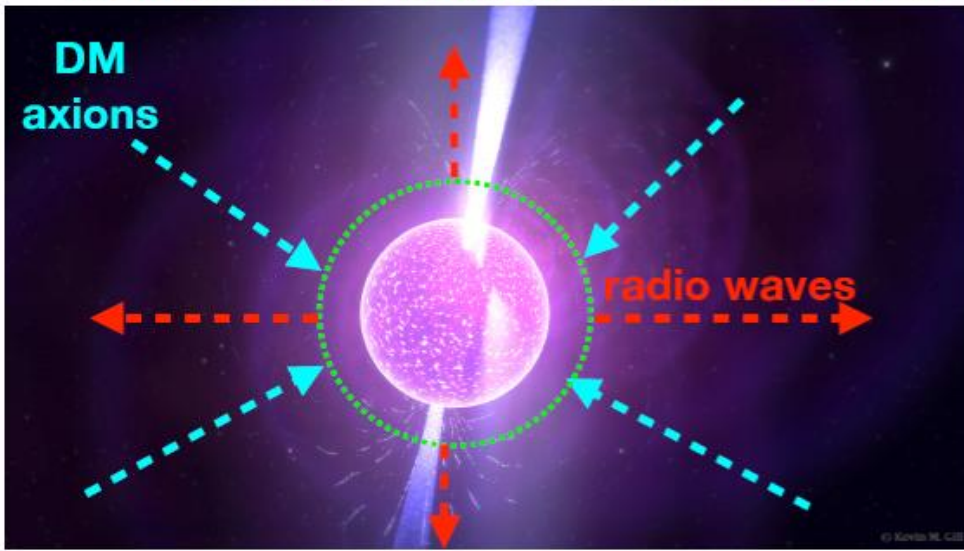
范一中^{1,2,3†} 常进^{1,2,3,8†} 郭建华^{1,2,3} 袁强^{1,2,3} 胡一鸣^{1,2} 李翔^{1,2,3}
岳川^{1,2} 黄光顺^{4,5} 刘树彬^{4,5} 封常青^{4,5} 张云龙^{4,5} 魏逸丰^{4,5}
孙志宇⁶ 余玉洪⁶ 孔洁⁶ 赵承心⁶ 藏京京⁷ 蒋维^{1,2} 潘旭^{1,2,3}
韦家驹^{1,2} 汪慎^{1,2} 段凯凯^{1,2} 沈兆强^{1,2} 夏子晴^{1,2} 徐遵磊^{1,2}
冯磊^{1,2,3} 黄晓渊^{1,2,3} 蔡岳霖^{1,2} 魏俊杰^{1,3} 曾厚敦^{1,2} 贺昊宁^{1,2}
李剑³ 杨睿智³ 颜景志^{1,2,3} 张毅^{1,2,3} 吴雪峰^{1,2,3} 韦大明^{1,2,3}



有效接受度达 $10 \text{ m}^2\text{sr}$ 的旗舰型空间探测设施

中子星射电谱线观测轴子

NS with strong B-field and surrounding plasma



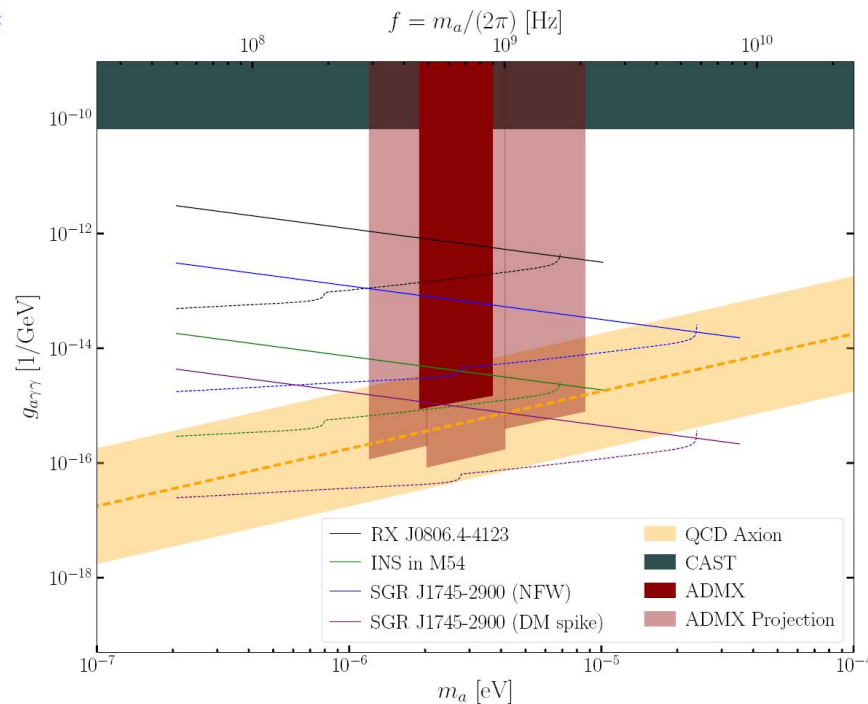
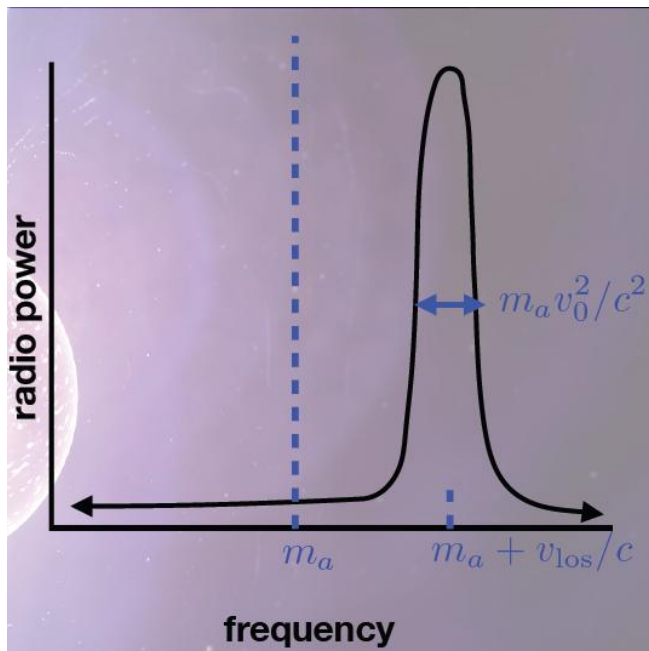
射电望远镜的宽频覆盖可以有效探索地面共振腔实验的盲区



radio waves
radio emission propagates to Earth

Narrow radio line detectable at Earth with $f = m_a / (2\pi)$.

DM axions resonantly convert to radio waves when $m_a =$



Pshirkov+ JETP 2009;
Huang+ PRD 2018;
Hook+ PRL 2018

中子星射电谱线观测轴子

- 信号特征：近似单一频率的线谱辐射， $f = m_a$
- 信号强度依赖于中子星磁场、周期、轴子-光子耦合、轴子暗物质密度等

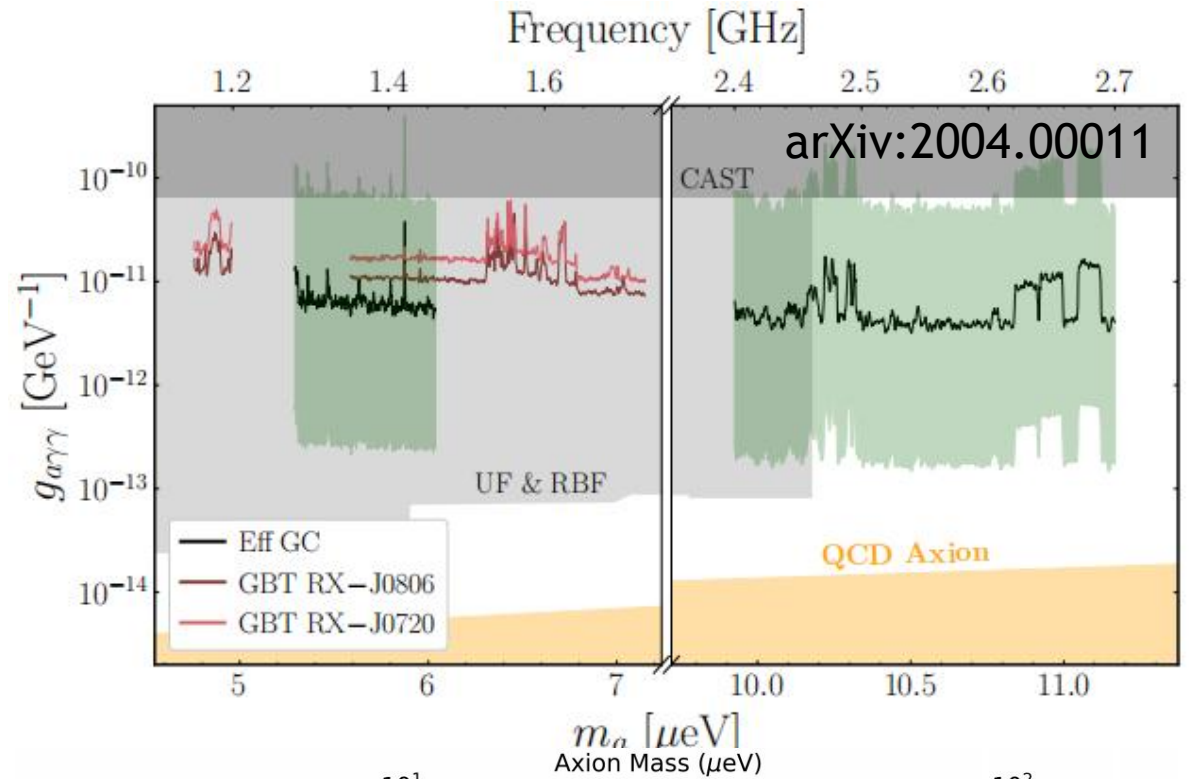
$$\bar{S}_{\nu_i} = \frac{F}{\Delta\nu} = 3.8 \times 10^{-6} \text{ Jy} \left(\frac{100 \text{ pc}}{d} \right)^2 \left(\frac{16 \text{ kHz}}{\Delta\nu} \right) \\ \times \left(\frac{d\mathcal{P}/d\Omega}{5.7 \times 10^9 \text{ W}} \right) \int_{\nu_{i,\min}}^{\nu_{i,\max}} \frac{d\nu}{\sqrt{2\pi}\sigma_0} e^{-\frac{(\nu-m_a)^2}{2\sigma_0^2}},$$

$$\frac{d\mathcal{P}}{d\Omega} \simeq 5.7 \times 10^9 \text{ W} \left(\frac{g_{a\gamma\gamma}}{10^{-12} \text{ GeV}^{-1}} \right)^2 \left(\frac{r_{\text{NS}}}{10 \text{ km}} \right)^{5/2} \left(\frac{m_a}{\text{GHz}} \right)^{4/3} \\ \times \left(\frac{B_0}{10^{14} \text{ G}} \right)^{5/6} \left(\frac{P}{\text{sec}} \right)^{7/6} \left(\frac{\rho_{\text{DM}}^\infty}{0.45 \text{ GeV cm}^{-3}} \right) \left(\frac{M_{\text{NS}}}{M_\odot} \right)^{1/2} \\ \times \left(\frac{200 \text{ km s}^{-1}}{v_0} \right) \frac{3(\hat{\mathbf{m}} \cdot \hat{\mathbf{r}})^2 + 1}{|3 \cos \theta \hat{\mathbf{m}} \cdot \hat{\mathbf{r}} - \cos \theta_m|^{7/6}},$$

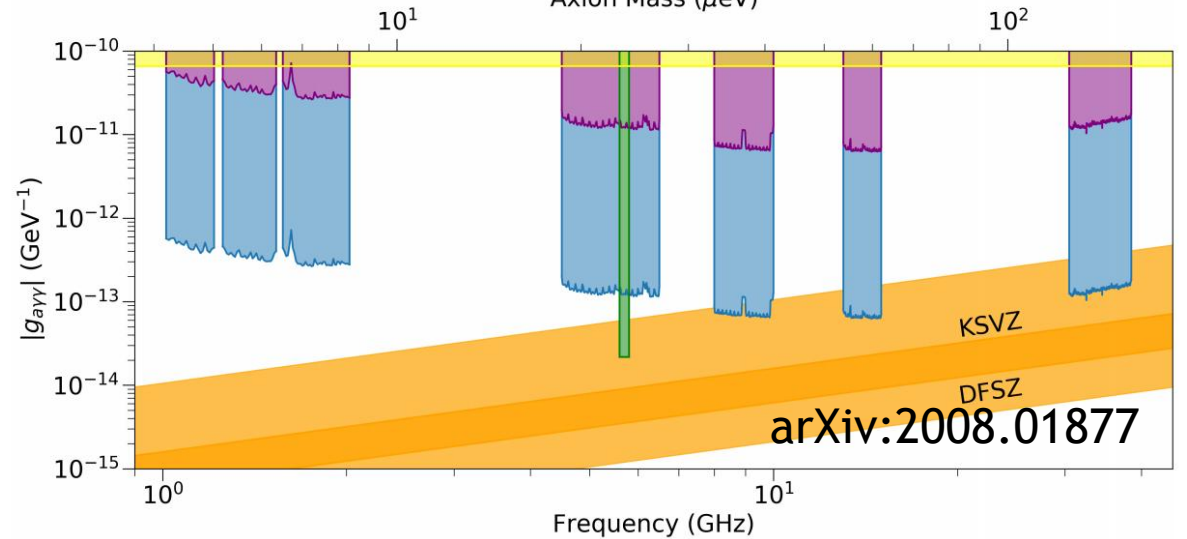
- 孤立、射电暗弱、强磁场中子星是优选目标

中子星射电谱线观测轴子

- GBT和Effelsberg观测银心磁星和近邻孤立中子星

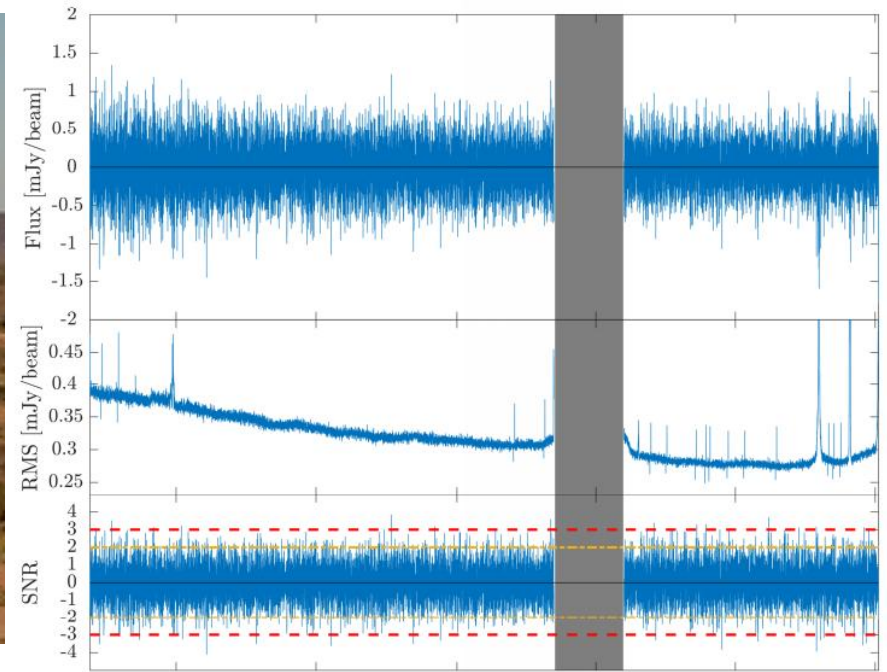


- VLA观测银心磁星PSR J1745-2900

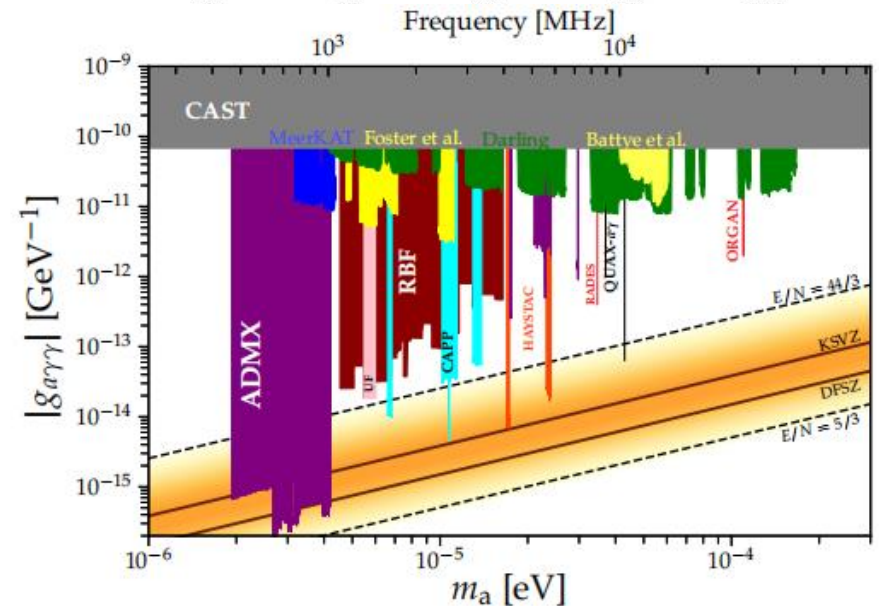


MeerKAT观测孤立中子星

MeerKAT as SKA pathfinder

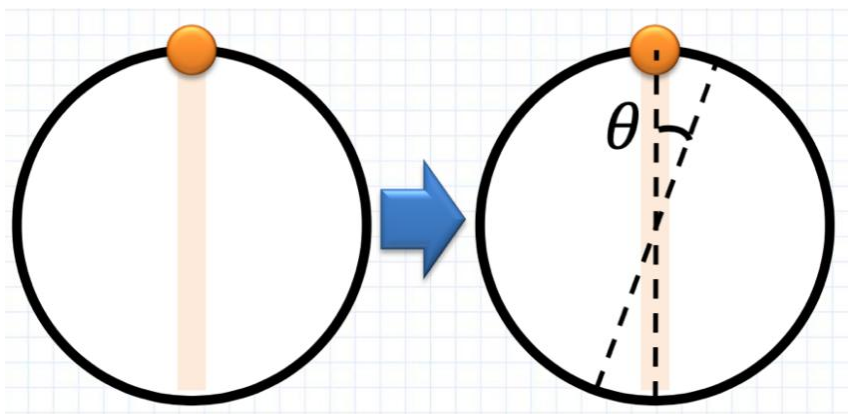


- MeerKAT UHF band: 580-1051 MHz covers the gap between ADMX and RBF
- Reaches better sensitivity than other observations at overlapping frequency



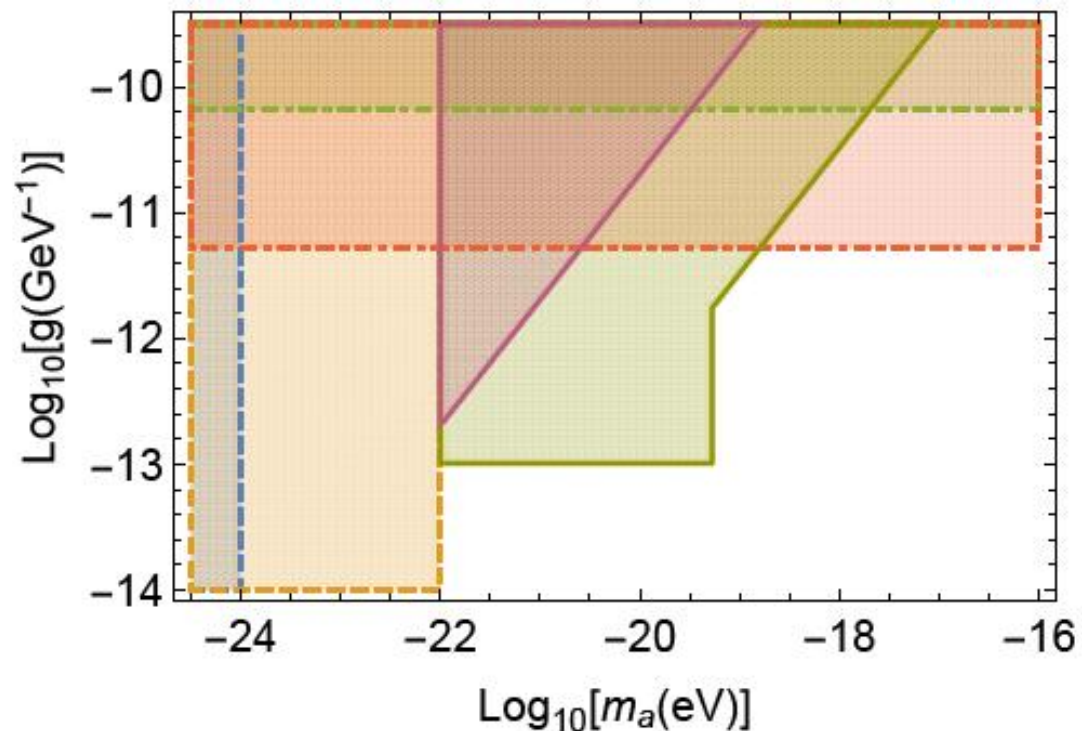
射电偏振辐射探测轴子

arXiv:1901.10981



$$\omega_{\pm} \approx k \pm \frac{1}{2}g \left(\frac{\partial \varphi}{\partial t} + \nabla \varphi \cdot \frac{\mathbf{k}}{k} \right)$$

线偏振光在轴子背景场中传播，会由于双折射效应产生偏振角的转动



■ Linear ■ Non-linear ■ CAST ■ SN1987A ■ P1 ■ P2

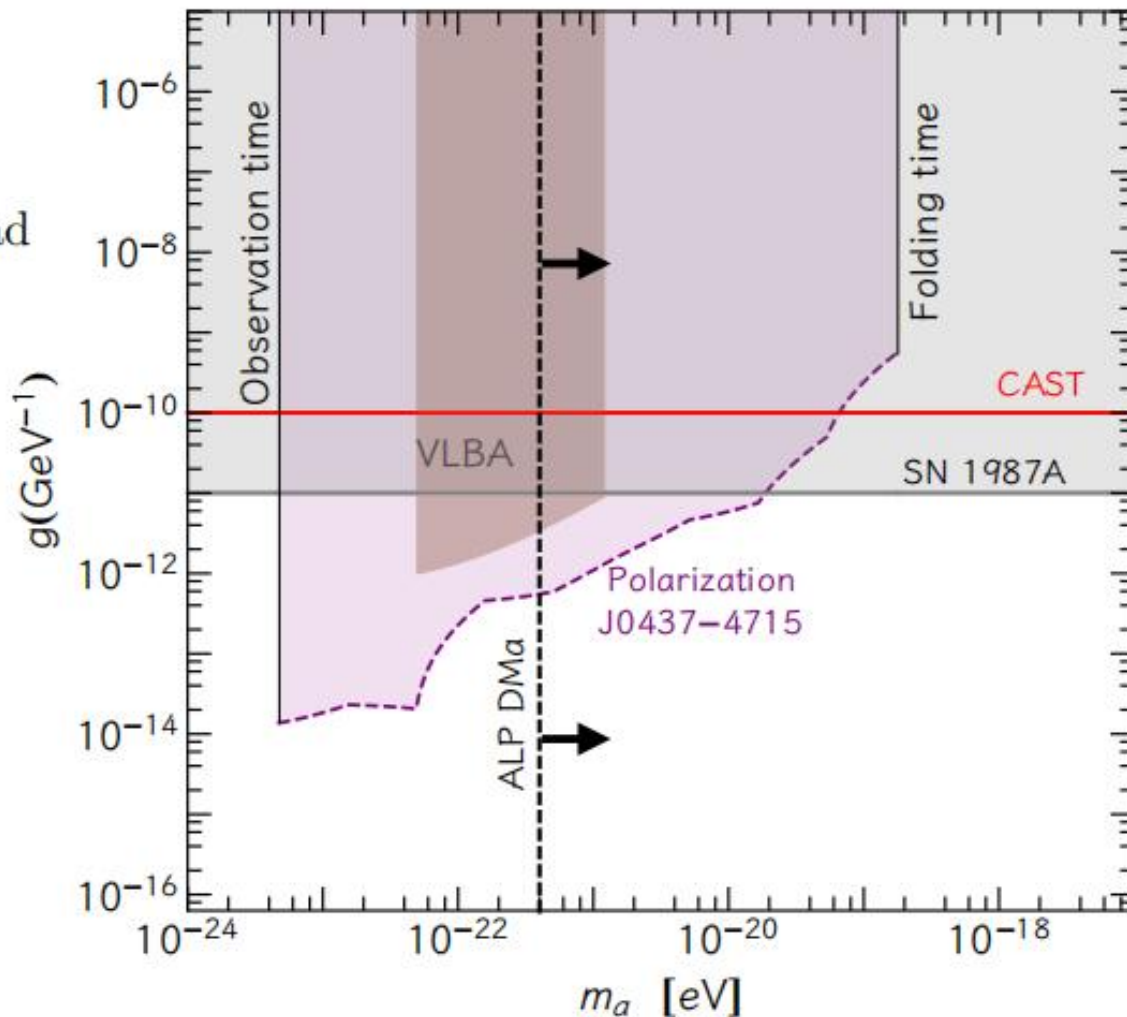
FIG. 1: Projected sensitivities to detect the CAB, using linearly polarized pulsar light as a probe, in the two benchmark scenarios: P_1 and P_2 .

射电偏振辐射探测轴子

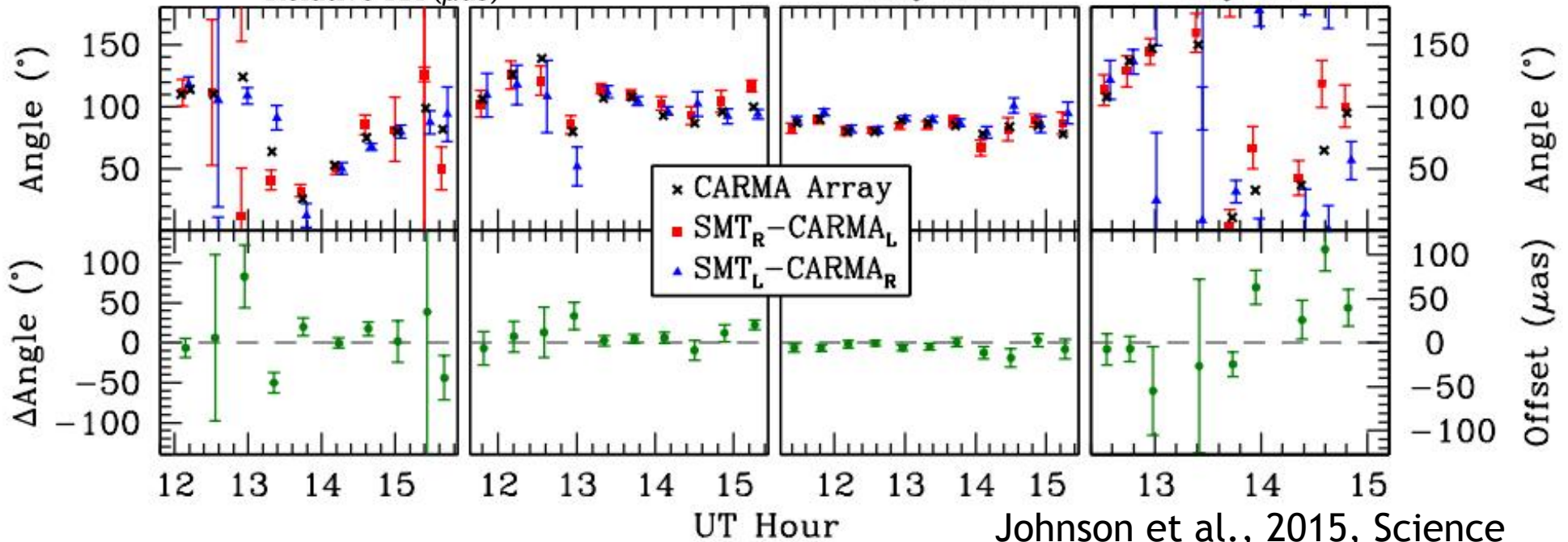
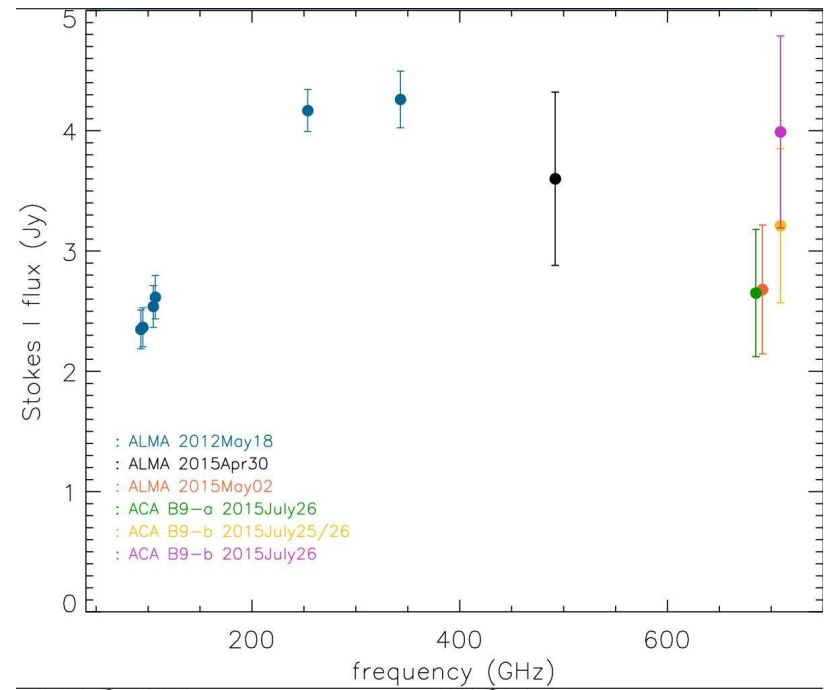
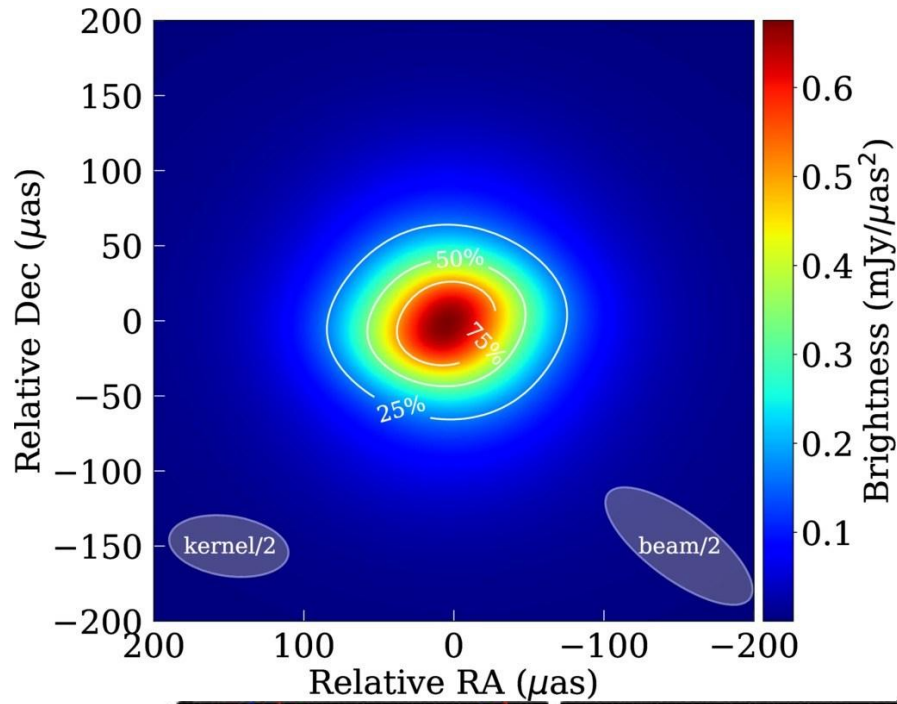
arXiv:1902.02695

$$\theta(t, T) \sim 1.4 \times 10^{-2} \sin(m_a t + \delta) \left(\frac{g}{10^{-12} \text{ GeV}^{-1}} \right) \frac{10^{-22} \text{ eV}}{m_a} \text{ rad}$$

Parkes对PSR J0437-4715
的偏振观测对超轻ALP给出
严格限制

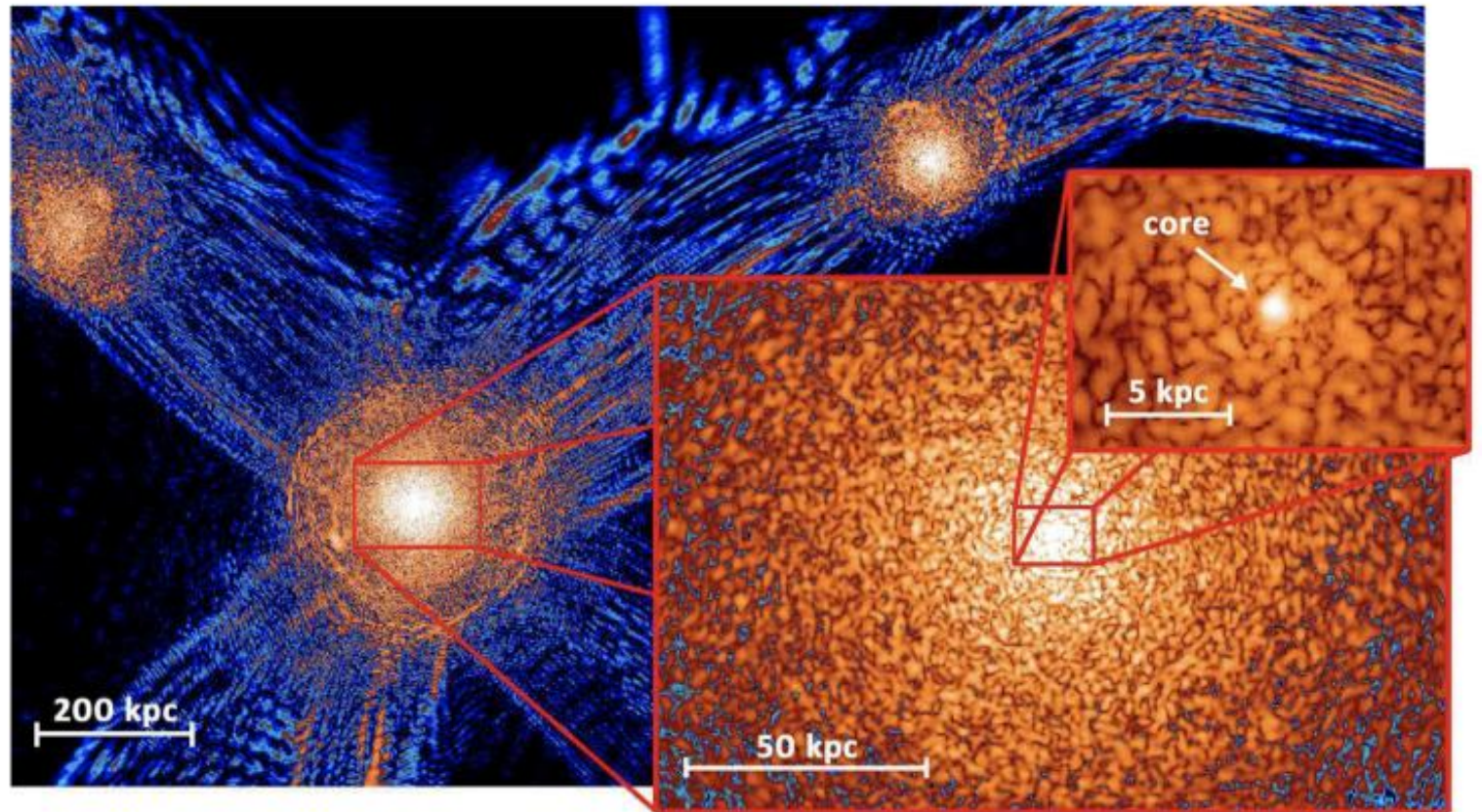


银河系中心的射电观测



银心暗物质分布

质量非常轻的暗物质波动性明显，影响其在小尺度上的结构分布

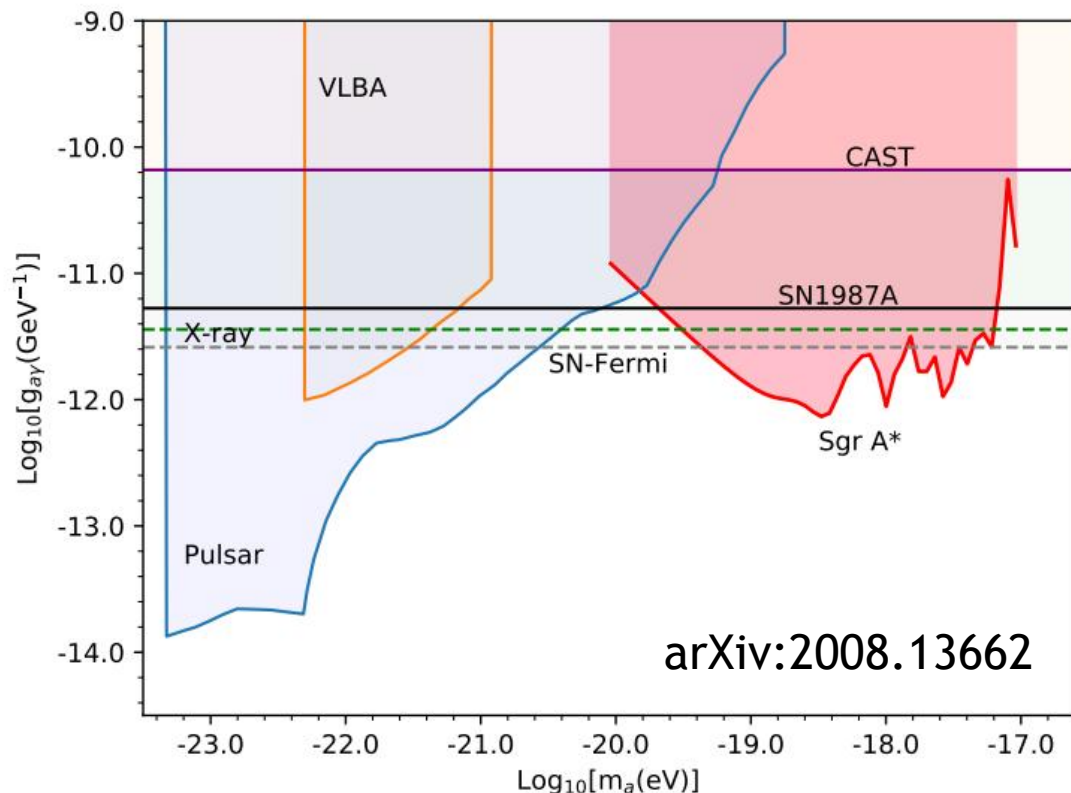
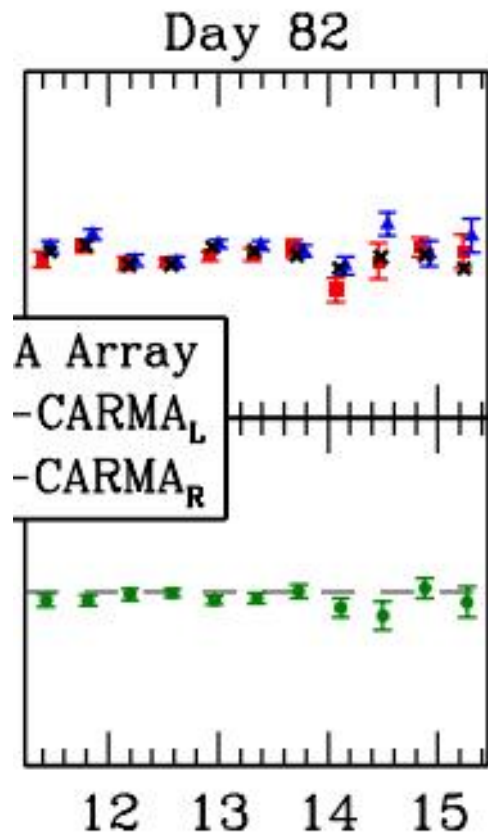


$$\rho_{\text{DM}} = \begin{cases} 190 \times \left(\frac{m_a}{10^{-18}\text{eV}}\right)^{-2} \left(\frac{r_c}{1\text{pc}}\right)^{-4} M_{\odot}\text{pc}^{-3}, & \text{for } r < r_c \\ \frac{\rho_0}{r/R_g(1+r/R_g)^2}, & \text{for } r > r_c \end{cases}$$

Soliton core + NFW

Schive et al., 2014, Nature Physics

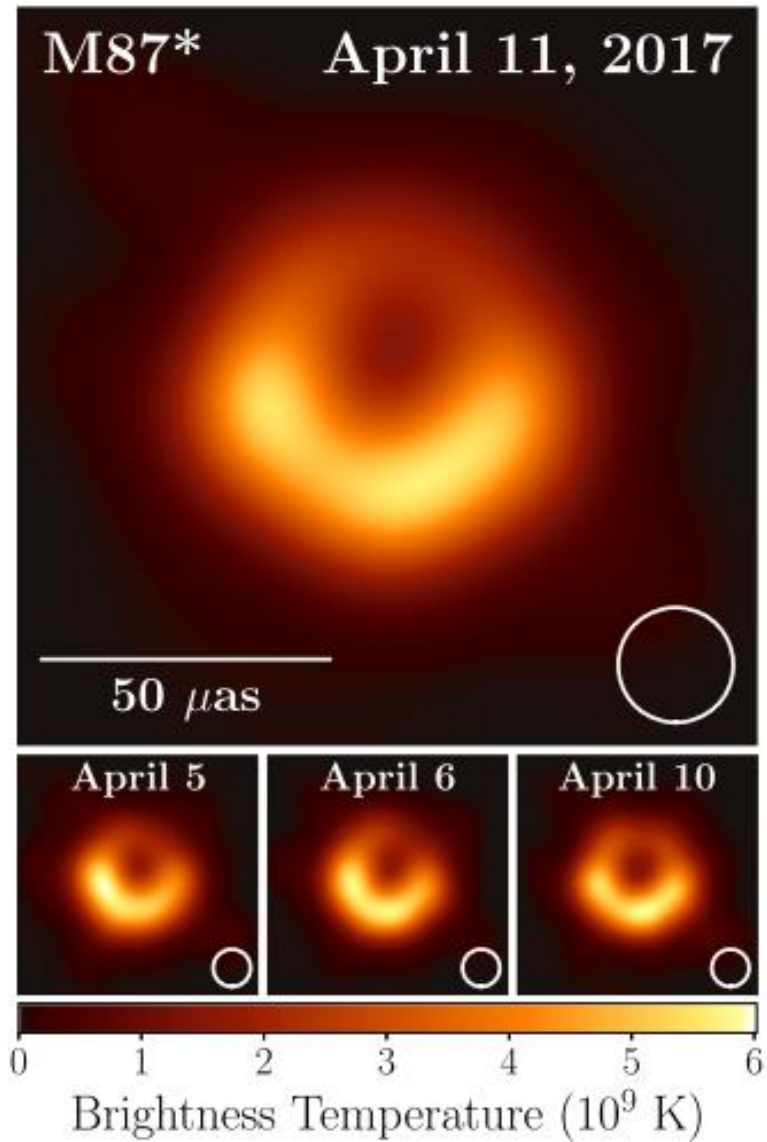
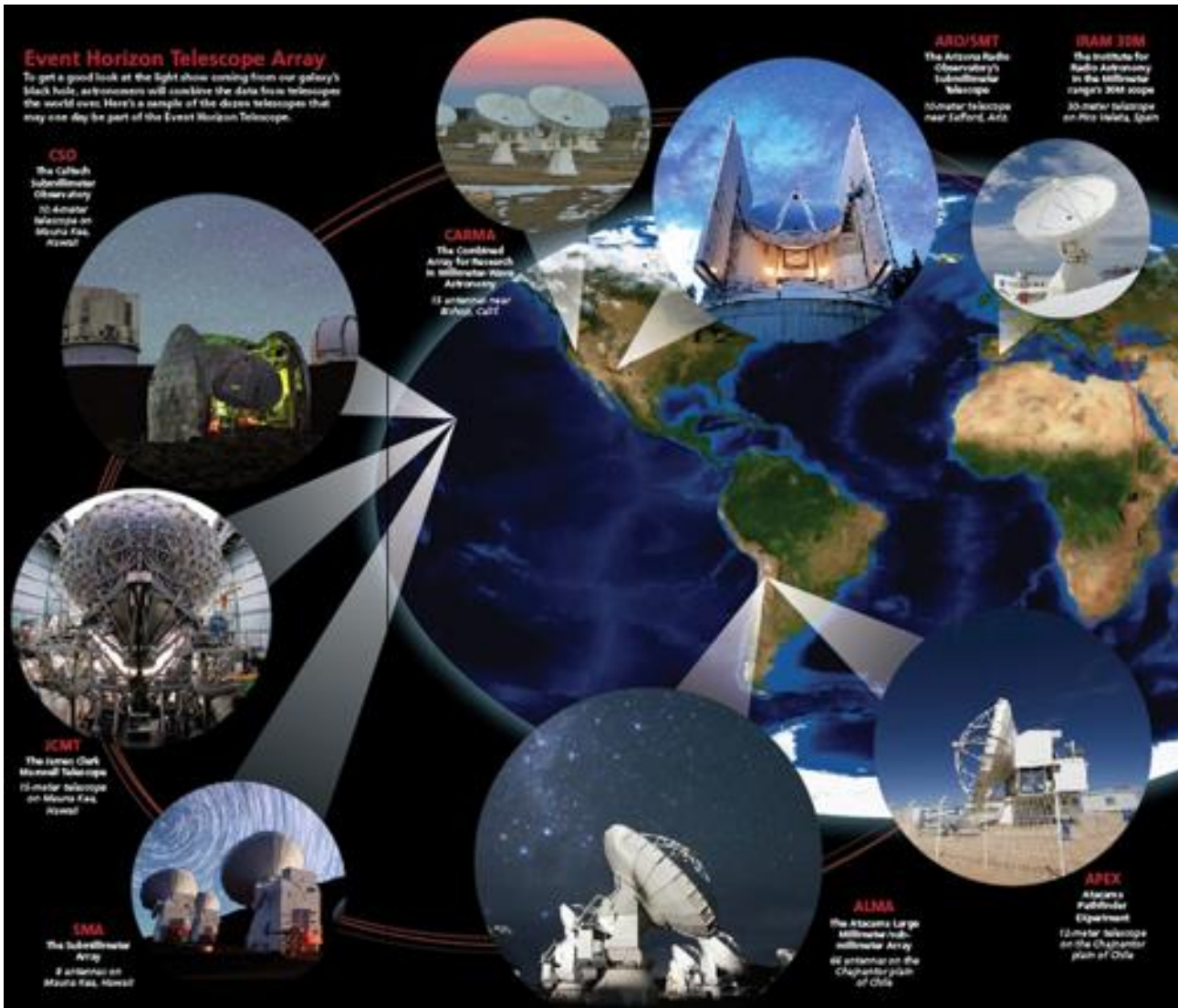
银心射电观测限制轴子暗物质模型



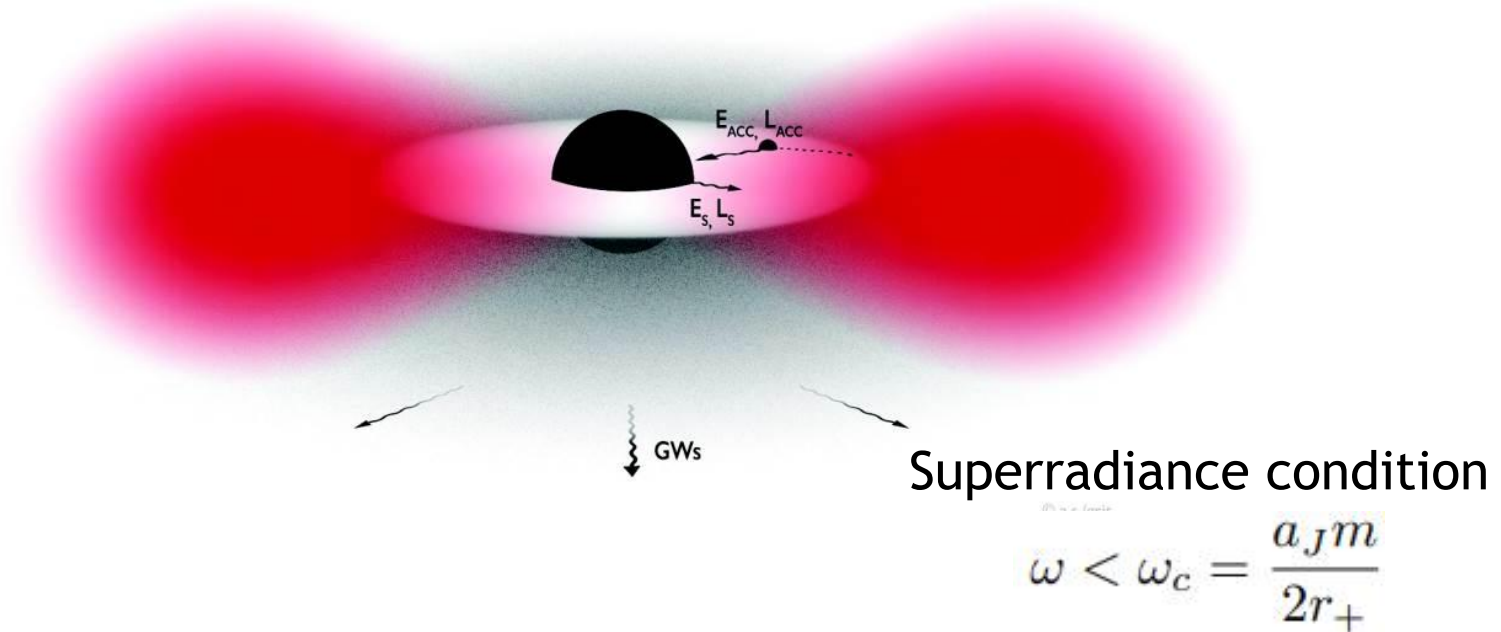
$$\Delta\phi(t) \simeq 5^\circ \sin\left(2\pi\frac{t}{T} + \delta(\mathbf{x})\right) \left(\frac{\rho_{\text{DM}}}{2 \times 10^9 \text{ GeV/cm}^3}\right)^{\frac{1}{2}} \left(\frac{g_{a\gamma}}{10^{-12} \text{ GeV}^{-1}}\right) \left(\frac{m_a}{10^{-18} \text{ eV}}\right)^{-1}$$

- VLBI对银心的偏振观测发现偏振度和偏振角呈复杂变化，反映了吸积盘的不稳定性
- 利用其相对稳定的一天观测结果(Day 82)可以对ALP模型给出限制

事件视界望远镜

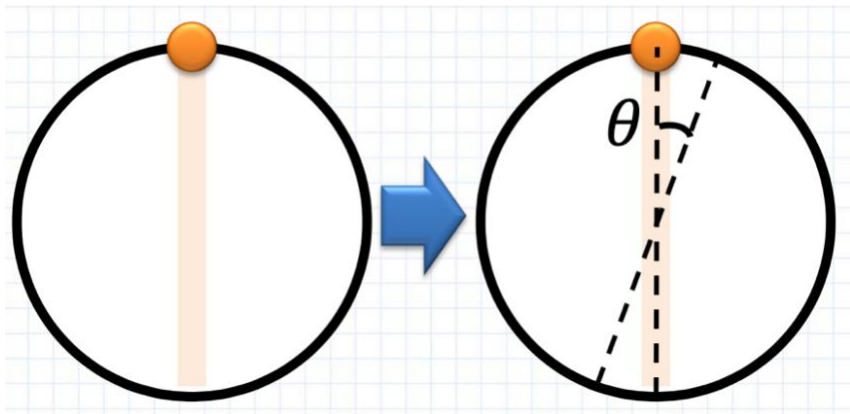


黑洞超辐射

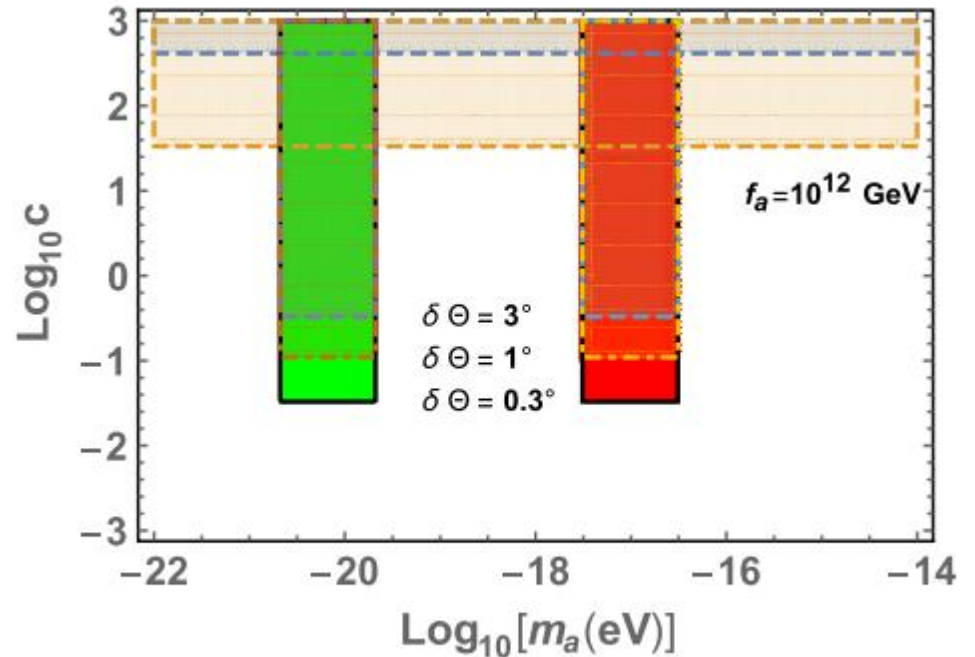
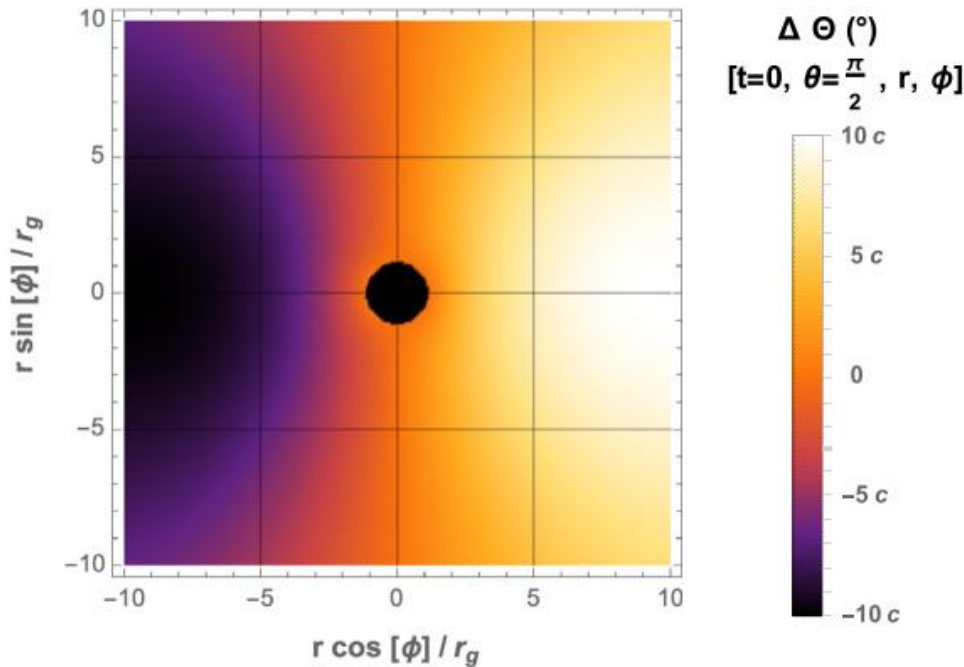


- 满足超辐射条件的玻色子在克尔黑洞外围将增长形成玻色云；类似于氢原子外的电子云，也称作引力原子
- 玻色云的演化（增长、坍缩、外流等）消耗黑洞自转能
- 玻色云的总能量可以很大，和黑洞质量相比拟

EHT偏振探测轴子/类轴子

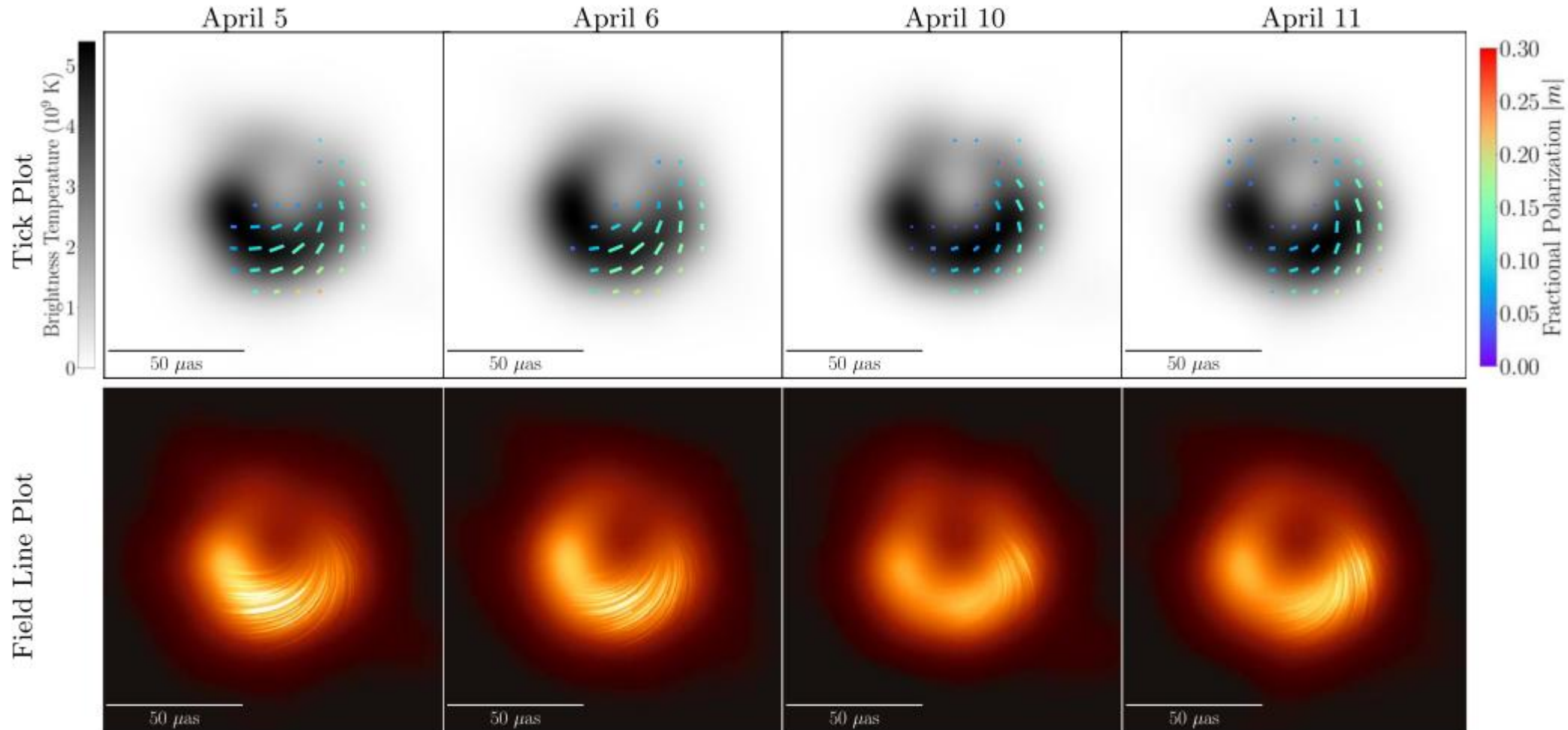


$$\begin{aligned} \Delta\Theta &= g_{a\gamma} \Delta a(t_{\text{obs}}, \mathbf{x}_{\text{obs}}; t_{\text{emit}}, \mathbf{x}_{\text{emit}}) \\ &= g_{a\gamma} \int_{\text{emit}}^{\text{obs}} ds n^\mu \partial_\mu a \\ &= g_{a\gamma} [a(t_{\text{obs}}, \mathbf{x}_{\text{obs}}) - a(t_{\text{emit}}, \mathbf{x}_{\text{emit}})], \end{aligned}$$



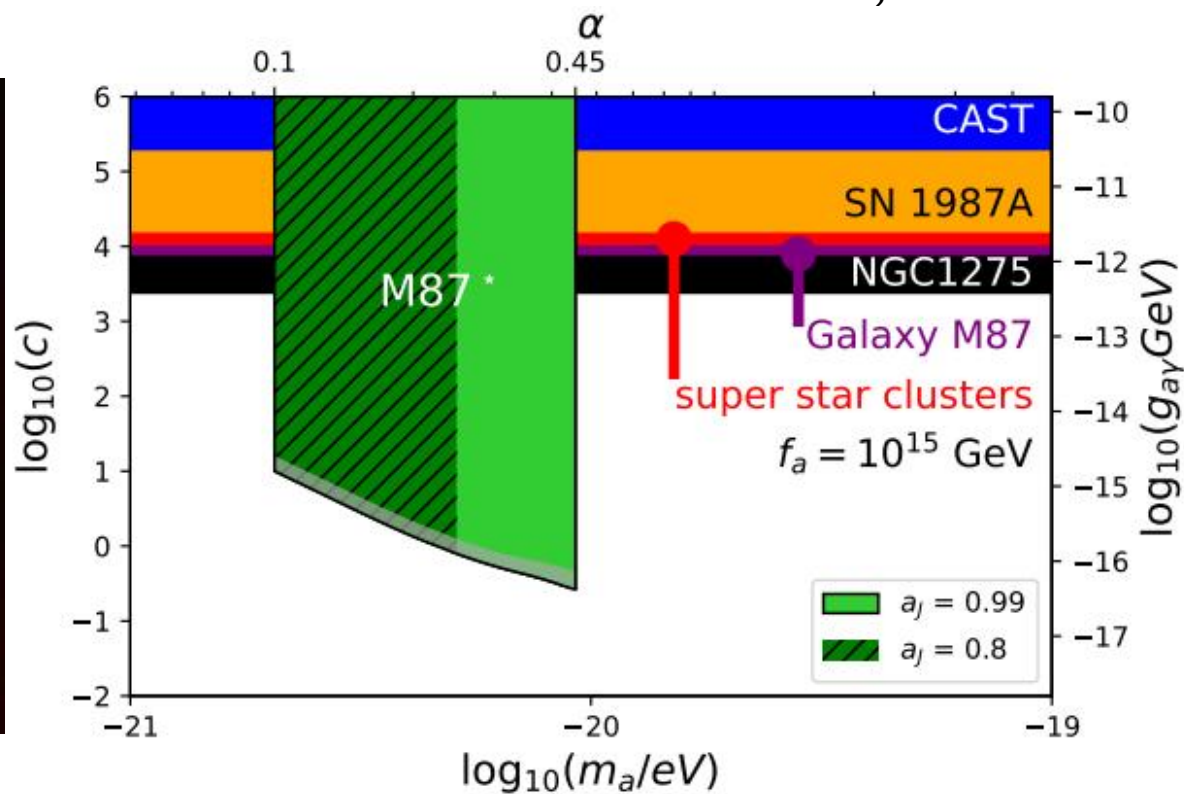
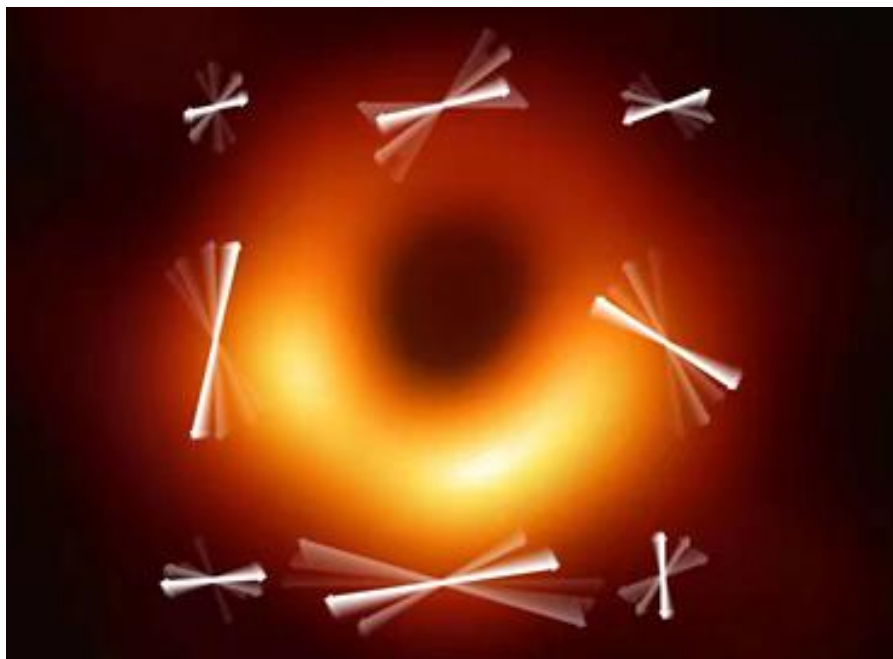
EHT M87* 偏振成像观测

EHT Coll., 2021, ApJL, 910, L12



EHT偏振探测轴子/类轴子

Chen et al., 2105.04572



- 时间上周期性变化；方位角周期性变化
- EHT超高分辨的偏振成像正好可以用于探测此类效应

超轻“模糊”暗物质(fuzzy dark matter)

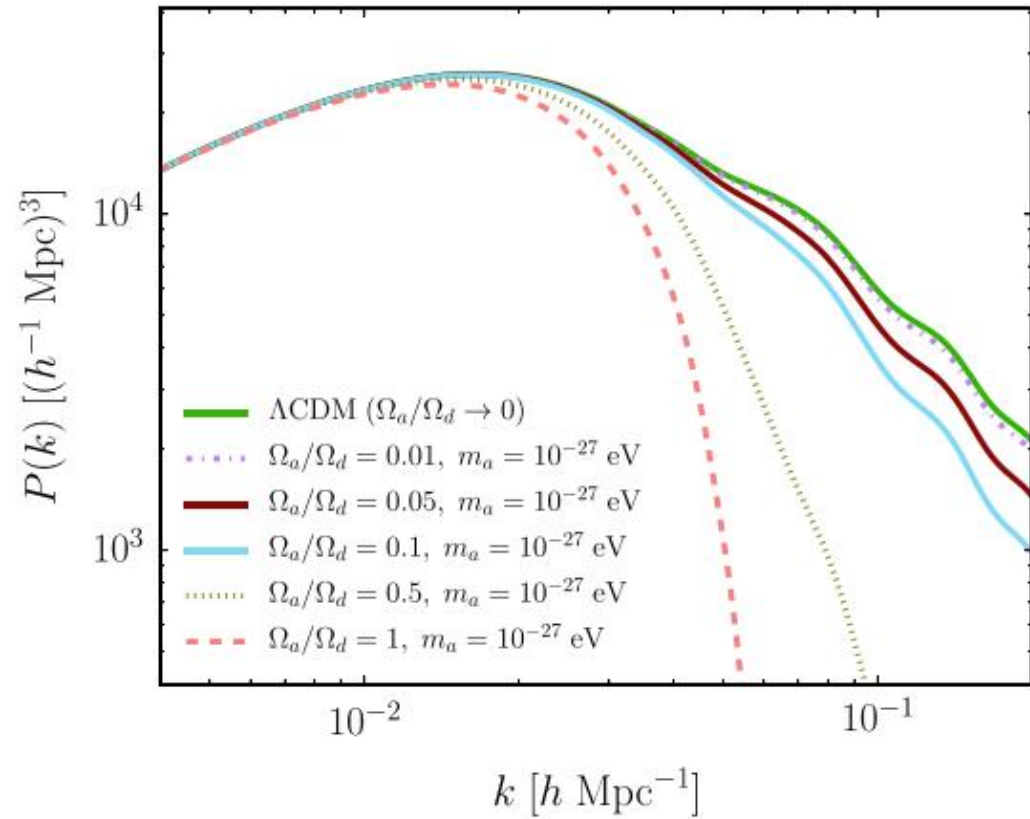
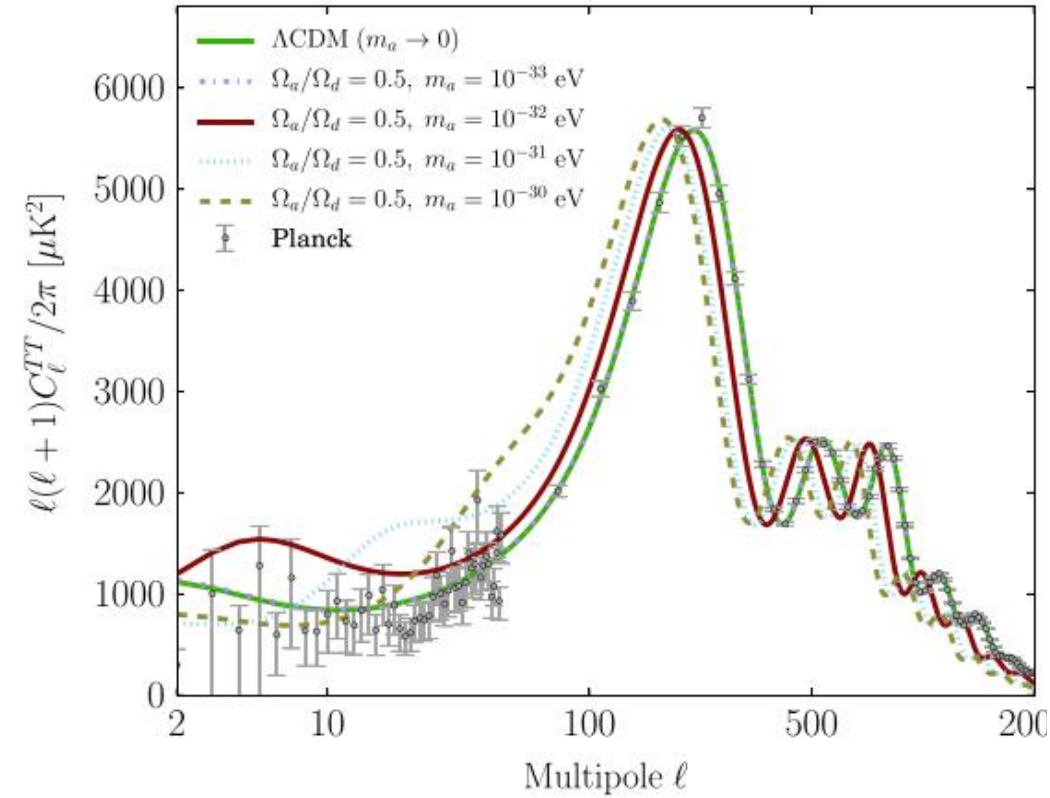
- 超轻的玻色暗物质以玻色-爱因斯坦凝聚状态存在，在大尺度上可以类似冷暗物质
- 质量非常轻的粒子($\sim 10^{-22}$ eV)更像一个波，波长相当于矮星系的尺度(kpc)，抹平小尺度结构(Hu et al., 2000)，解决冷暗物质模型的“小尺度危机”

$$i(\partial_t + \frac{3\dot{a}}{2a})\psi = (-\frac{1}{2m}\nabla^2 + m\Psi)\psi$$

$$i\partial_t\psi = (-\frac{1}{2m}\nabla^2 + m\Psi)\psi, \quad \nabla^2\Psi = 4\pi G\delta\rho$$

$$r_{Jh} \sim 3.4(c_{10}/f_{10})^{1/3} m_{22}^{-2/3} M_{10}^{-1/9} (\Omega_m h^2)^{-2/9} \text{kpc}$$

FDM的宇宙学效应

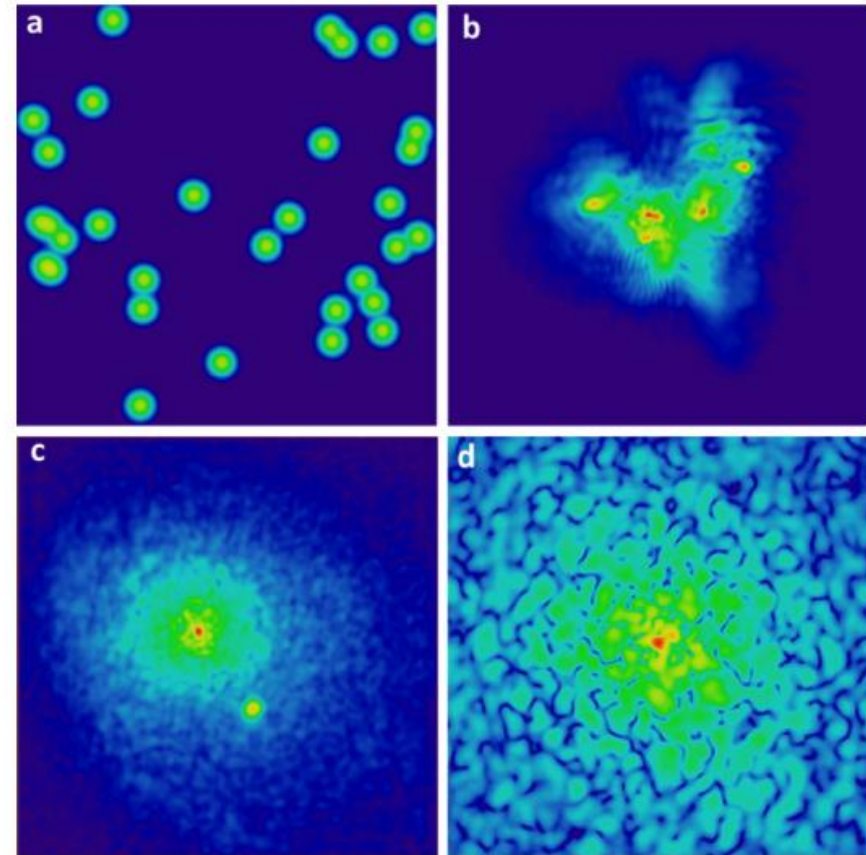
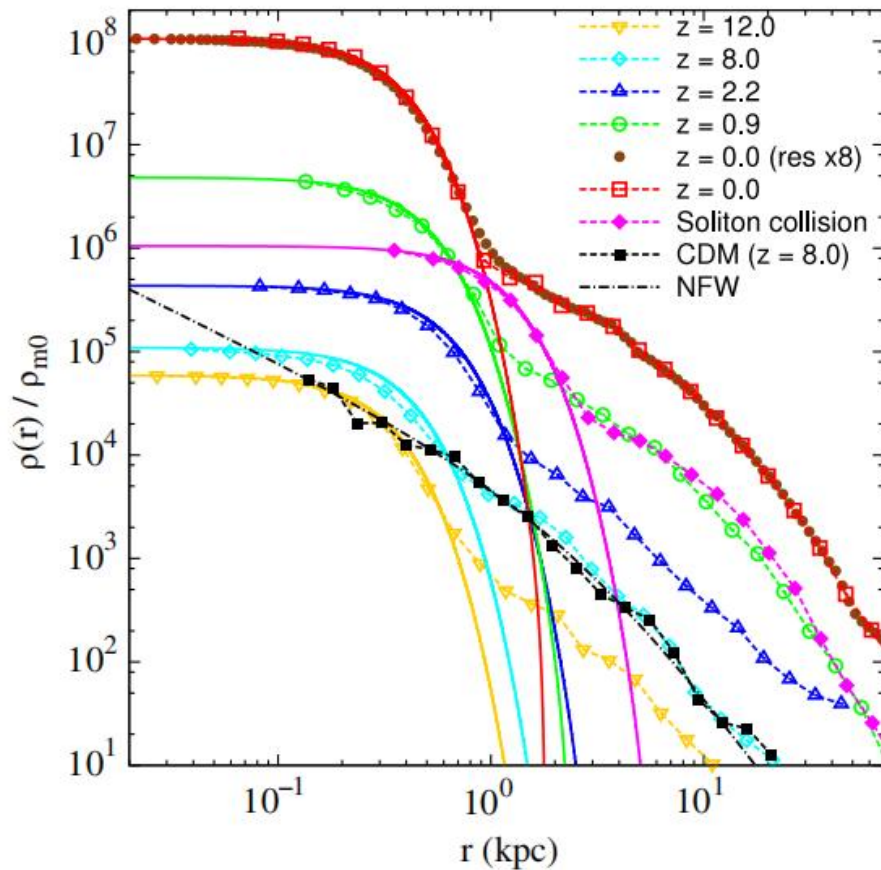


超轻暗物质 ($w \sim -1$) 影响宇宙的膨胀率，从而影响CMB和物质功率谱；物质功率谱上主要体现为对小尺度结构的压低

Marsh, 2016, Phys. Rept.

FDM小尺度结构

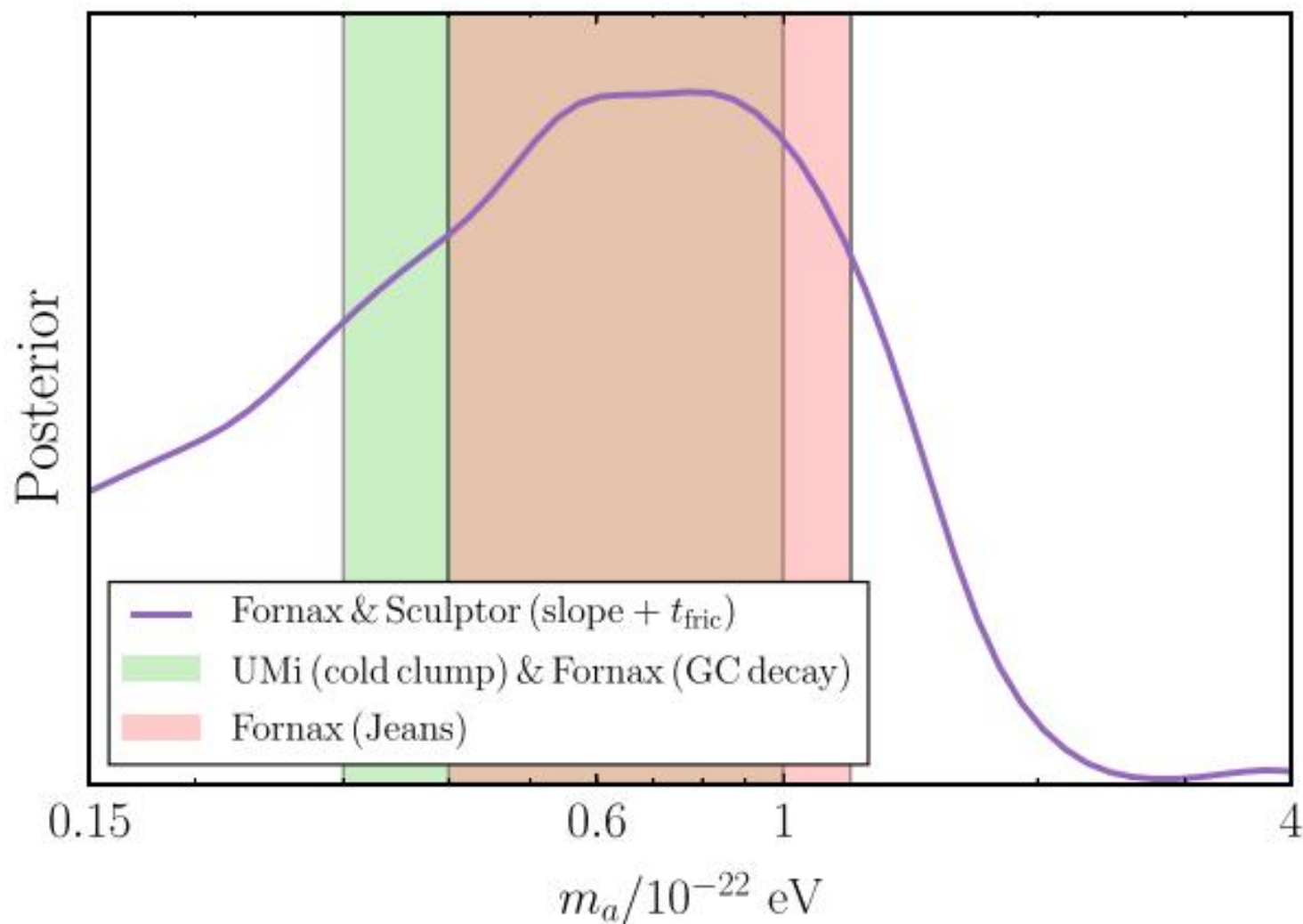
Schive et al., 2014, PRL



FDM形成的暗晕在小尺度表现为soliton core结构，大尺度和冷暗物质类似，可以解决冷暗物质模型的“小尺度危机”：

- The missing satellites problem [267,268]: CDM predicts more small Milky Way satellites than are observed.
- The too-big-to-fail problem [269]: CDM predicts more massive satellites that should contain stars than are observed.
- The cusp-core problem [270]: many observed low-mass systems contain flat central density profiles, not NFW cusps.

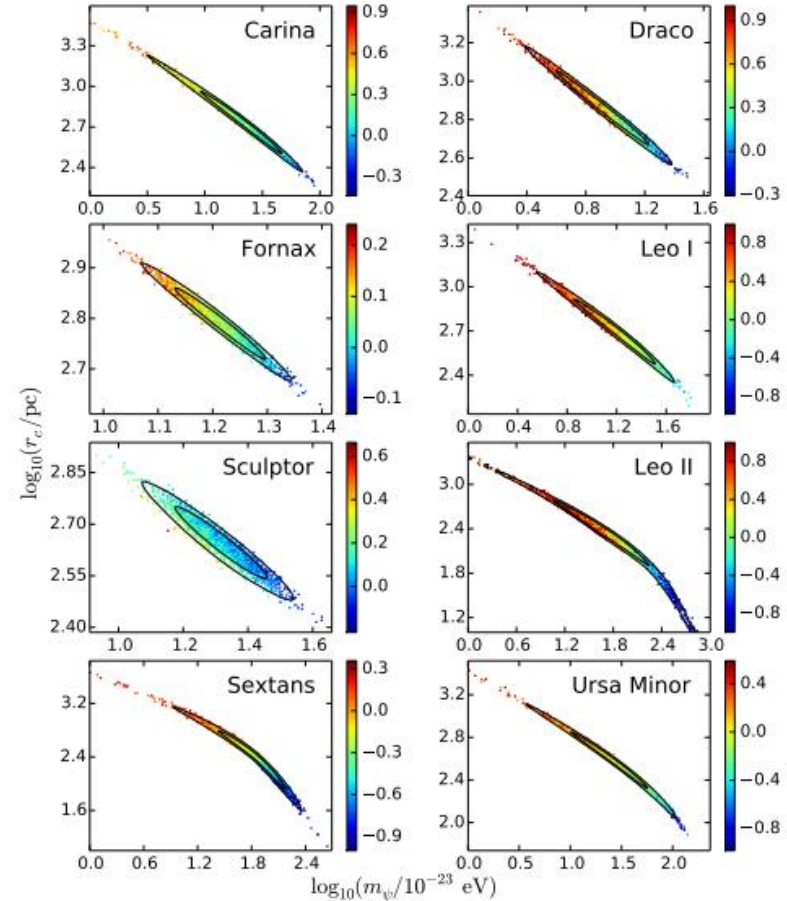
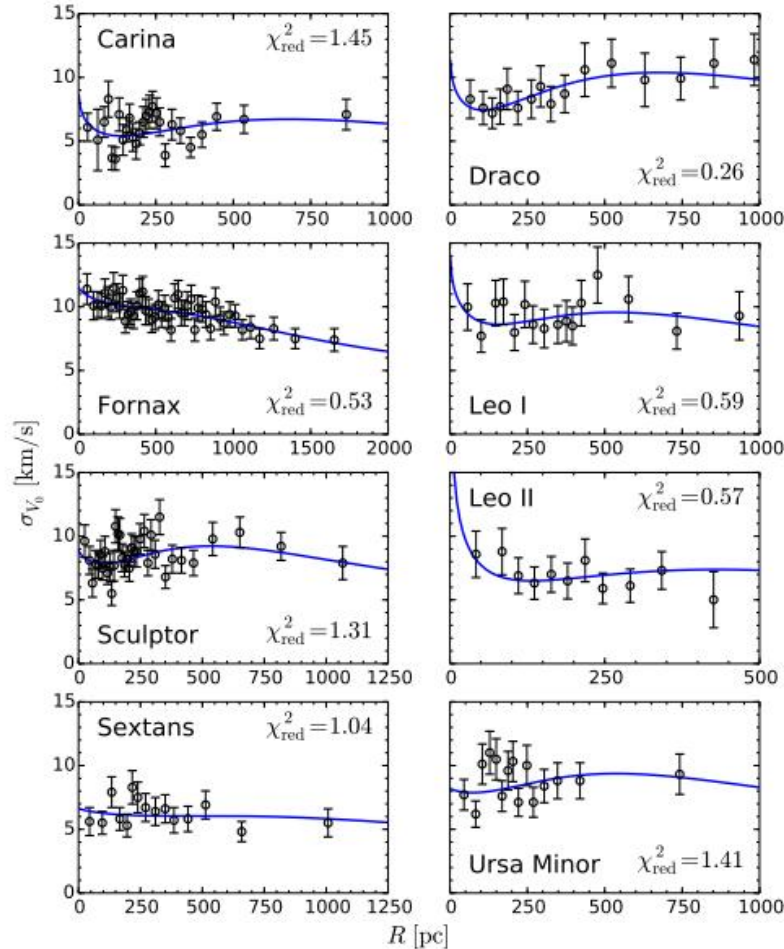
FDM解释矮星系结构



$$0.1 \times 10^{-22} \text{ eV} < m_a < 1.4 \times 10^{-22} \text{ eV}$$

FDM解释矮星系结构

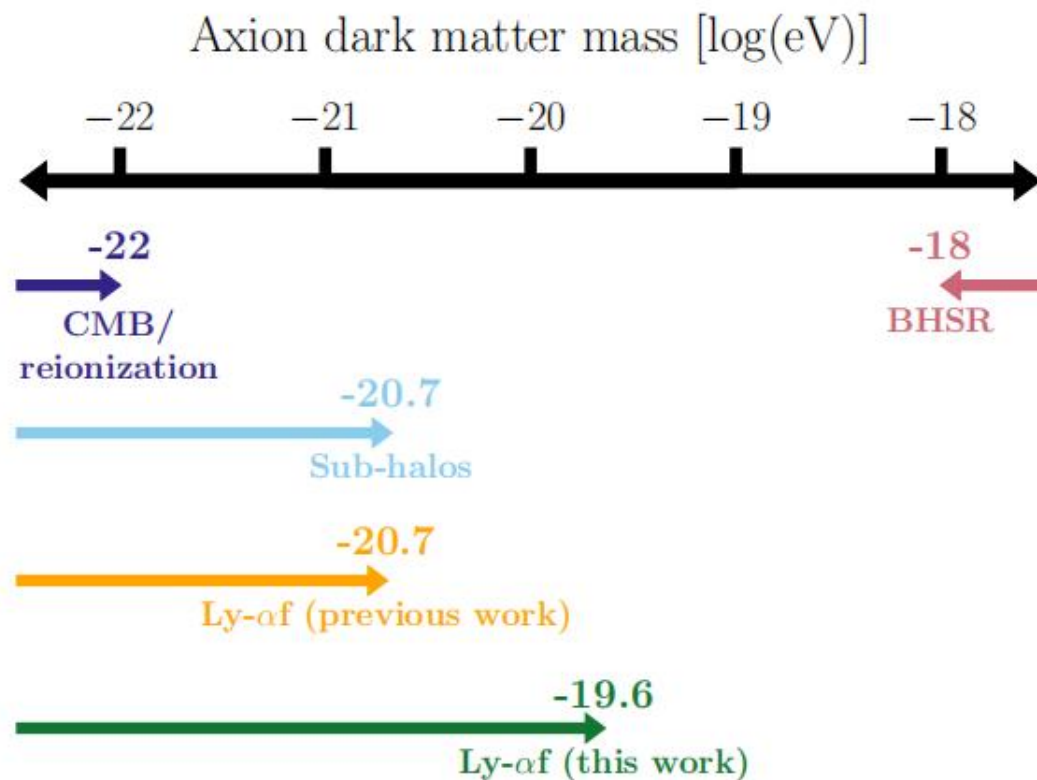
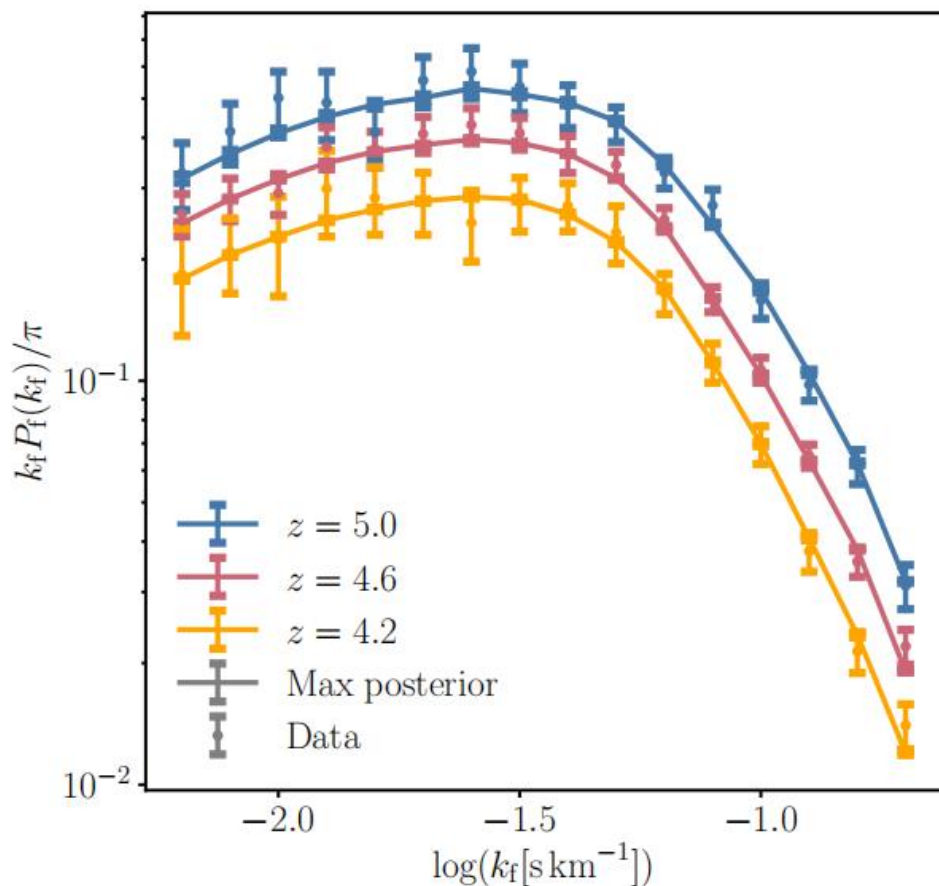
Chen et al., arXiv:1606.09030



pressure against gravity. Here we apply Jeans analysis assuming a soliton core profile to the kinematic data of eight classical dSphs so as to constrain m_ψ , and obtain $m_\psi = 1.18_{-0.24}^{+0.28} \times 10^{-22}$ eV and $m_\psi = 1.79_{-0.33}^{+0.35} \times 10^{-22}$ eV (2σ) using the observational data sets of Walker et al. (2007) and Walker et al. (2009b), respectively. We

Ly α 森林的限制

arXiv:2007.12705



We present a new bound on the ultra-light axion (ULA) dark matter mass m_a , using the Lyman-alpha forest to look for suppressed cosmic structure growth: a 95% lower limit $m_a > 2 \times 10^{-20}$ eV.

Ly α 森林和矮椭圆星系的结果稍微存在矛盾

Ultralight scalars as cosmological dark matter

Lam Hui^{*}

Department of Physics, Columbia University, New York, NY 10027

Jeremiah P. Ostriker[†]

*Department of Astronomy, Columbia University, New York, NY 10027 and
Department of Astrophysical Sciences, Princeton University, Princeton, NJ 08544*

Scott Tremaine[‡] and Edward Witten[§]

Institute for Advanced Study, Princeton, NJ 08540

In summary, the hypothesis that the principal component of the ubiquitous dark matter is an ultra-light axion is an attractive and testable alternative to CDM, having no serious inconsistencies with current data if the particle mass $m \gtrsim 10^{-22}$ eV. There are significant and attractive observational consequences if the mass is in the range $1-10 \times 10^{-22}$ eV. There is tension with observations of the Lyman- α forest, which favor masses $10-20 \times 10^{-22}$ eV or higher. More sophisticated calculations of reionization and of structure formation in FDM are required to determine whether this variety of constraints is consistent with observations.

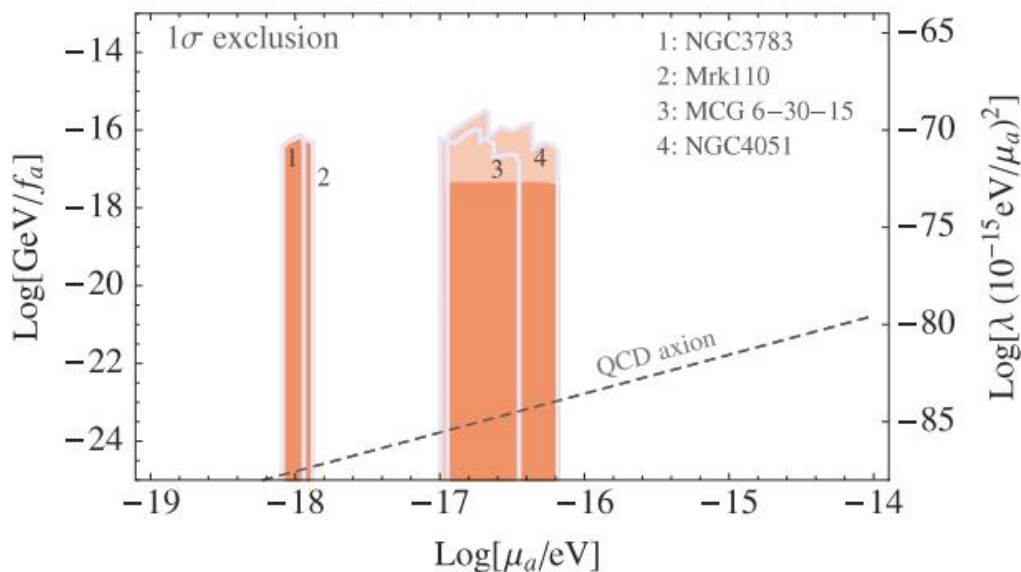
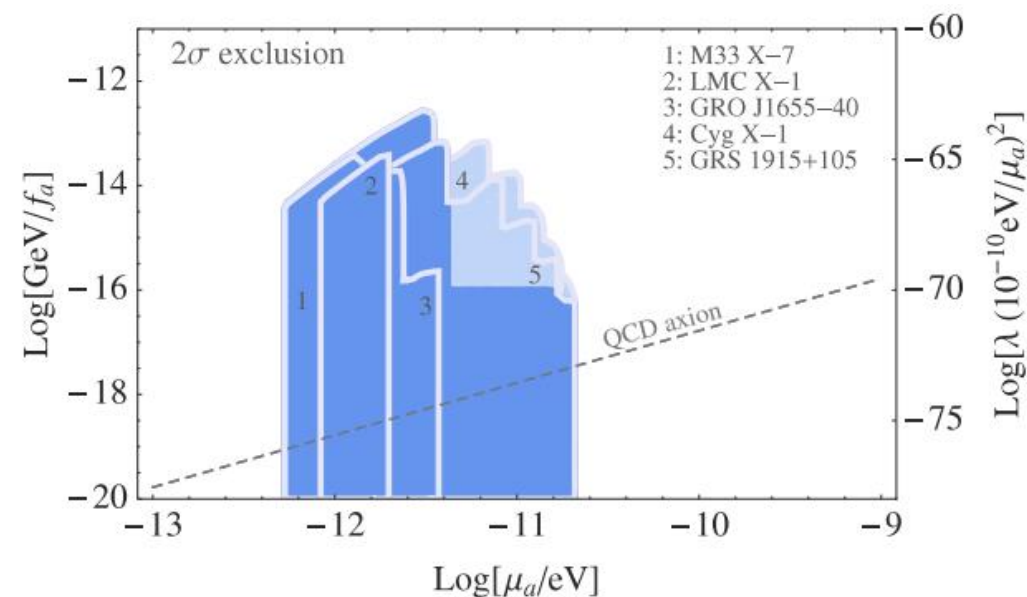
黑洞自旋和超轻暗物质

- 满足一定条件的玻色粒子会通过提取黑洞转动能形成玻色云，称为超辐射(Penrose过程)
- 考虑玻色子的自相互作用，玻色云密度增长至某临界值后会发生坍缩(bosenova)，最大容许玻色云粒子数变为 $N_{bosenova}$
- 通过测量黑洞自旋可以对该过程给出限制

$$N_{\max} \simeq \frac{GM_{\text{bh}}^2}{\mu} \Delta a_*$$

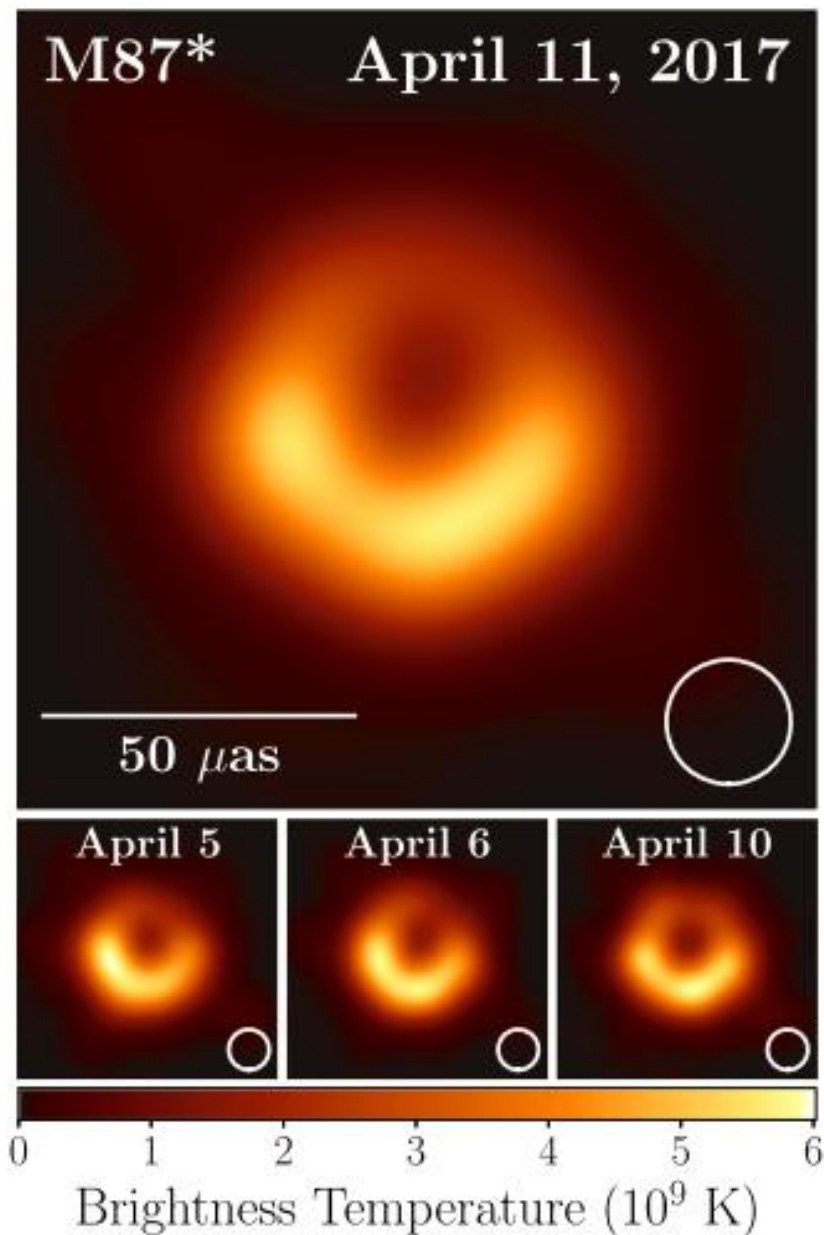
$$\Gamma \tau_{\text{bh}} > \ln N_{\max}$$

$$\Gamma \tau_{\text{bh}} (N_{\text{bosenova}}/N_{\max}) > \ln N_{\text{bosenova}}$$



Marsh, 2016, Phys. Rept.

黑洞自旋和超轻暗物质



PHYSICAL REVIEW LETTERS

Highlights Recent Accepted Collections Authors Referees Search Press About

Featured in Physics

Editors' Suggestion

Ultralight Boson Dark Matter and Event Horizon Telescope Observations of M87*

Hooman Davoudiasl and Peter B. Denton

Phys. Rev. Lett. **123**, 021102 – Published 10 July 2019

PhysiCS See Viewpoint: [Supermassive Black Hole May Constrain Superlight Dark Matter](#)

Article

References

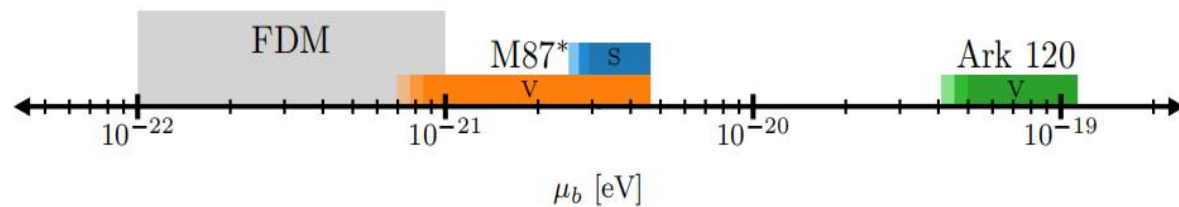
Citing Articles (7)

PDF

HTML

Export Citation

$$|a| \gtrsim 0.5$$



黑洞自旋和超轻暗物质

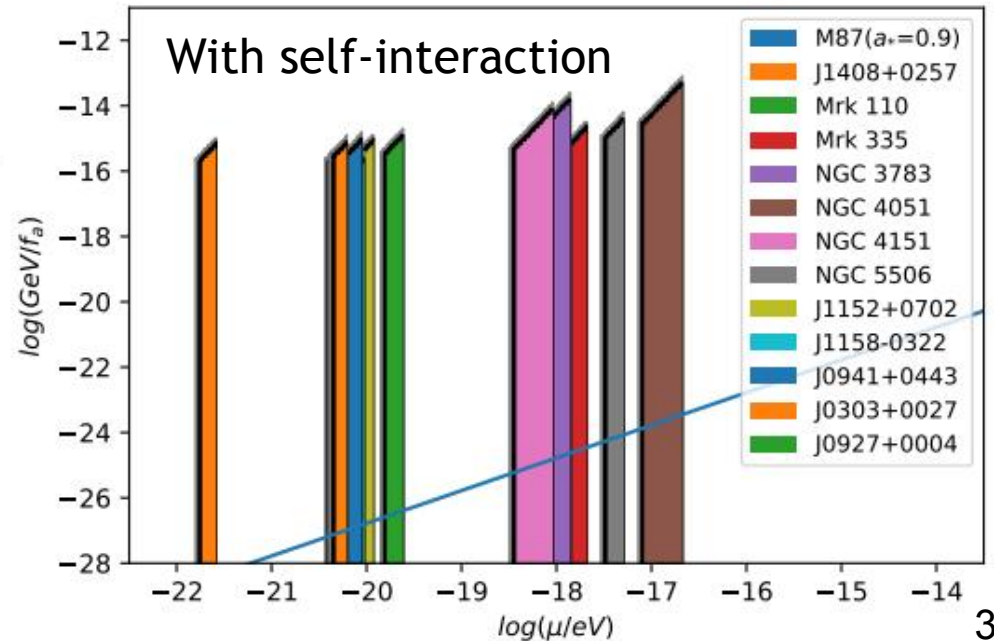
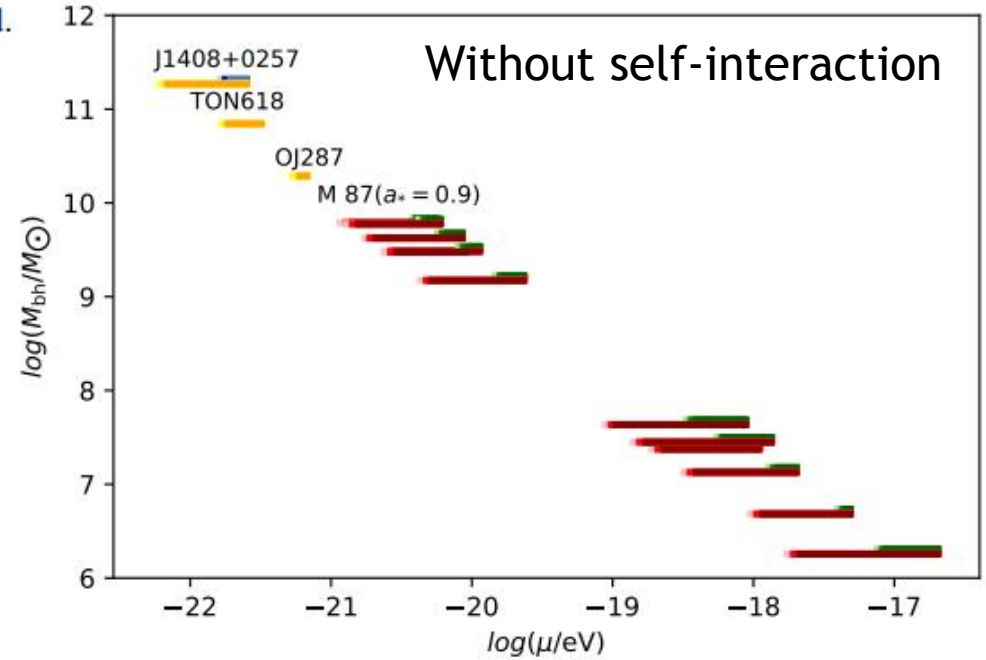
TABLE I: SMBHs with masses and spins measured with various method.

	Object	$M_{\text{bh}} (10^8 M_{\odot})$	Spin	Refs.
	Mrk 110	$0.251^{+0.061}_{-0.061}$	$0.96^{+0.03}_{-0.07}$	[38, 39]
	Mrk 335	$0.142^{+0.037}_{-0.037}$	> 0.91	[38, 40]
	NGC 3783	$0.298^{+0.054}_{-0.054}$	> 0.98	[38, 41]
	NGC 4051	$0.019^{+0.008}_{-0.008}$	> 0.99	[38, 42]
	NGC 4151	$0.457^{+0.057}_{-0.047}$	> 0.90	[43, 44]
	NGC 5506	$0.051^{+0.022}_{-0.012}$	$0.93^{+0.04}_{-0.04}$	[45, 46]
UV/optical	J1152 + 0702	$32.3^{+4.8}_{-4.2}$	$0.998^{+0.000}_{-0.032}$	[22]
	J1158 - 0322	$31.6^{+4.7}_{-3.4}$	$0.898^{+0.036}_{-0.035}$	[22]
	J0941 + 0443	$44.7^{+5.4}_{-4.8}$	$0.998^{+0.000}_{-0.032}$	[22]
	J0303 + 0027	$63.1^{+7.7}_{-6.9}$	$0.998^{+0.000}_{-0.032}$	[22]
	J0927 + 0004	$15.8^{+1.9}_{-2.0}$	$0.998^{+0.000}_{-0.036}$	[22]
	OJ 287	183.48 ± 0.08	0.381 ± 0.004	[33]
Most massive	Ton 618	660	> 0.60	[34]
	SDSS J140821.67 +025733.2	1960	> 0.97	[35]

$$\Gamma_s = \frac{1}{24} a_* r_g^8 \mu^9,$$

$$\frac{dN}{dt} = \Gamma N.$$

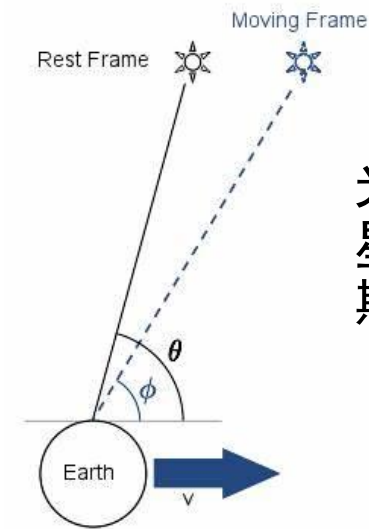
$$\Gamma_v = 4 a_* r_g^6 \mu^7,$$



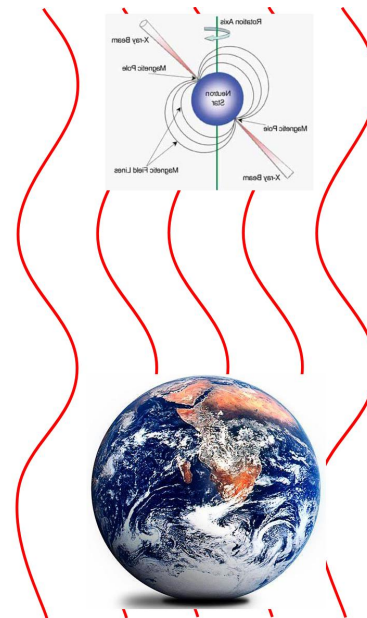
恒星位置和脉冲星计时探测超轻暗物质



质量非常轻($<10^{-20}$ eV)的暗物质表现出宏观的波动性，其和物质的相互作用与引力波导致的时空扰动相似，可以在天体位置或者脉冲到达时间上留下印记

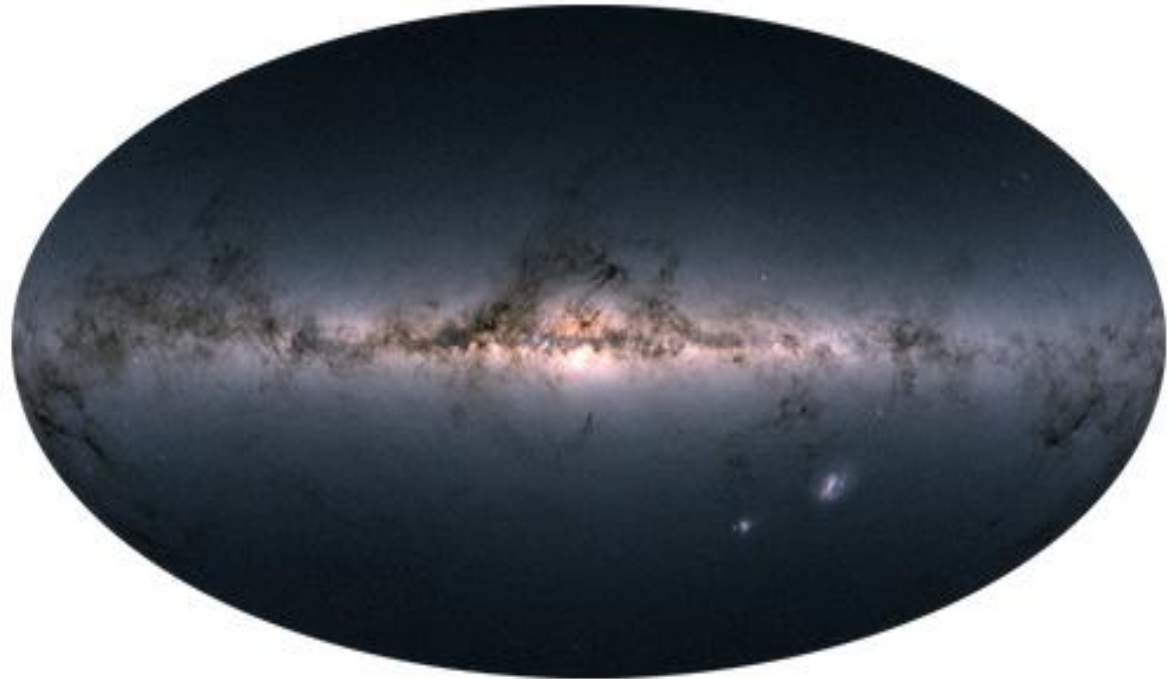
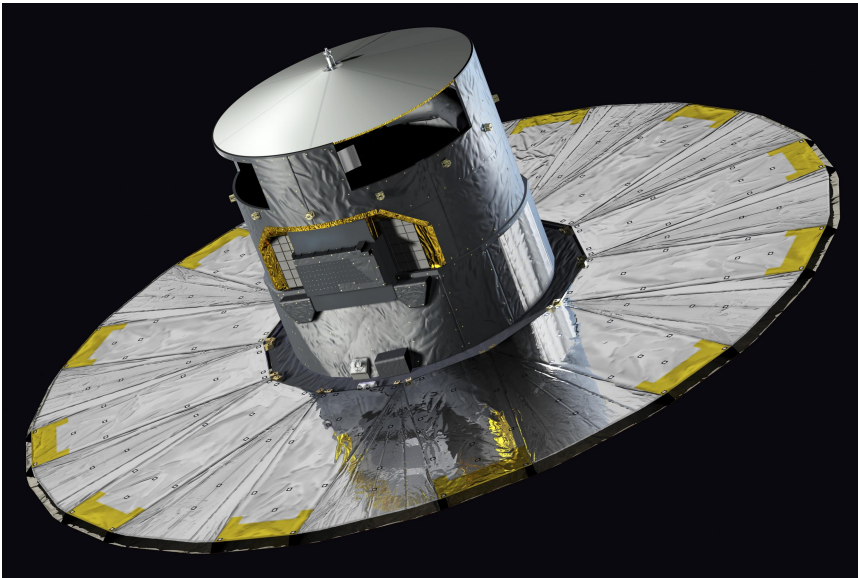


光行差导致恒星位置产生周期性额外摆动



脉冲星或地球运动导致脉冲到达时间超前或滞后

Gaia高精度天体位置测量



- Gaia将以非常高的精度($\sim 100 \mu\text{as}$)观测大量($\sim 10^9$)恒星的位置和运动
- 将带来银河系结构和动力学、恒星物理、地外行星、基础物理等领域的革命性突破

超轻暗光子导致天体位置变化

- 考虑一类暗光子模型：它们以微弱的耦合强度和重子数B或者重子-轻子之差B-L (dark charge)不为零的物体相互作用

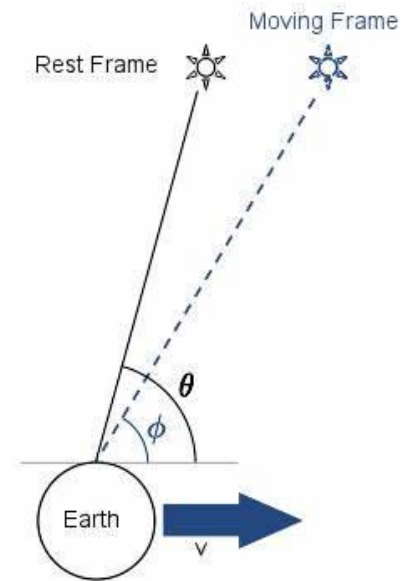
- Gaia卫星在暗光子场中会感受到一个周期性振荡的加速度

$$a(t, \mathbf{x}) \simeq \epsilon e \frac{q}{m} m_A A_0 \cos(m_A t - \mathbf{k} \cdot \mathbf{x})$$

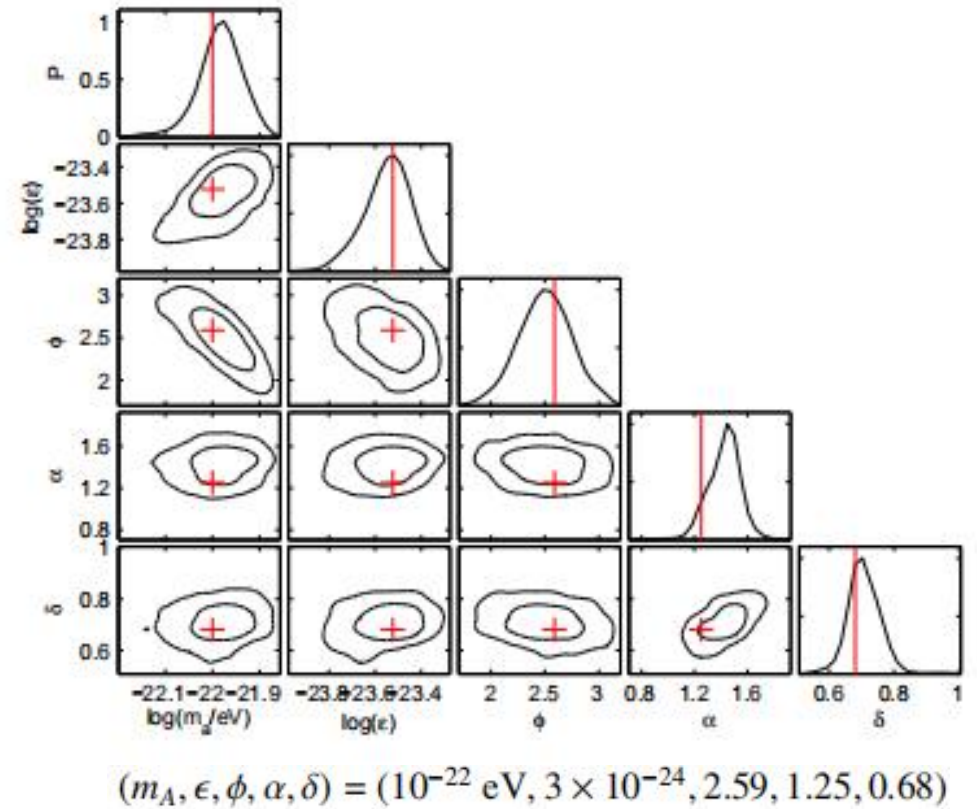
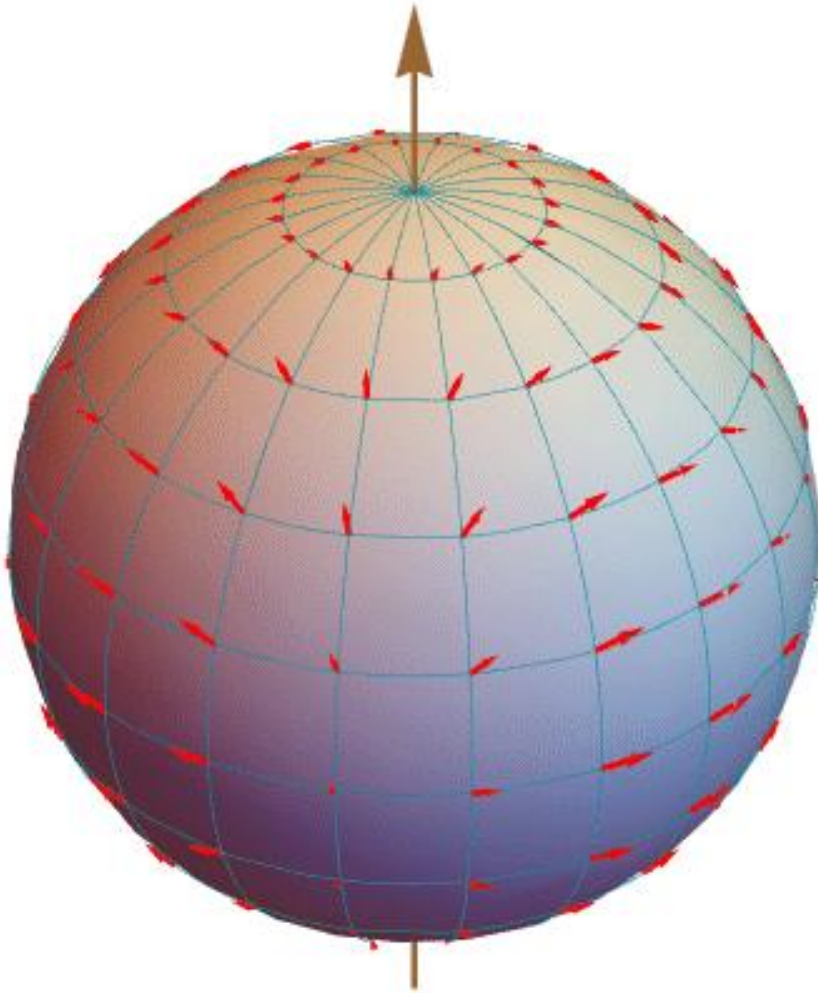
- 该加速度导致卫星产生一项额外的周期性运动，由于光行差现象使得远处的恒星视位置发生改变

$$\Delta v(t, \mathbf{x}) \simeq \epsilon e \frac{q}{m} A_0 \sin(m_A t - \mathbf{k} \cdot \mathbf{x}). \quad \Delta \theta \simeq -\Delta v \sin \theta$$

- 大量恒星的运动会形成一个规律的图案，反映暗光子场的性质



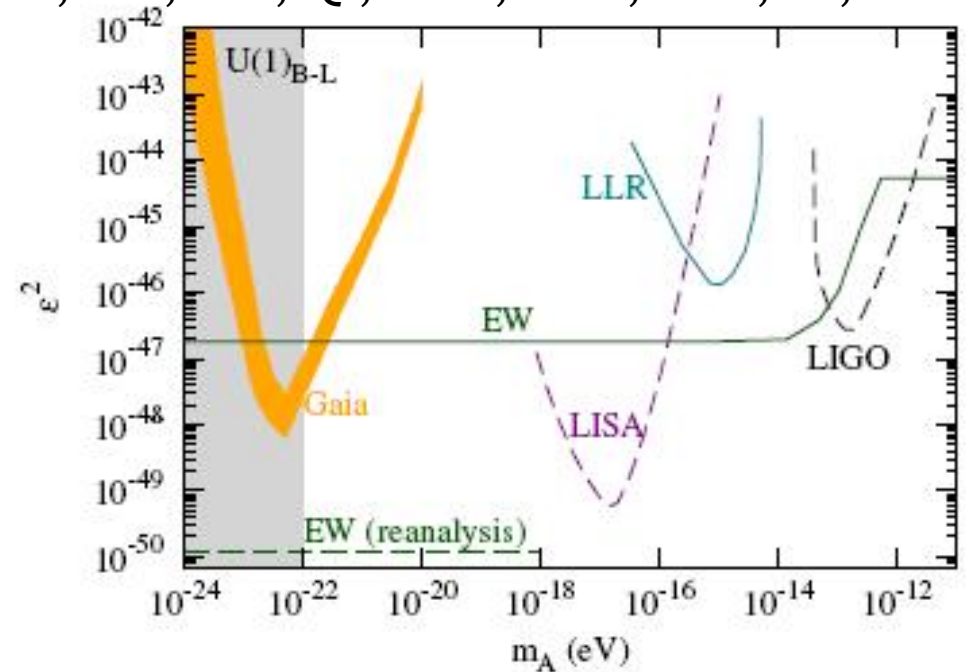
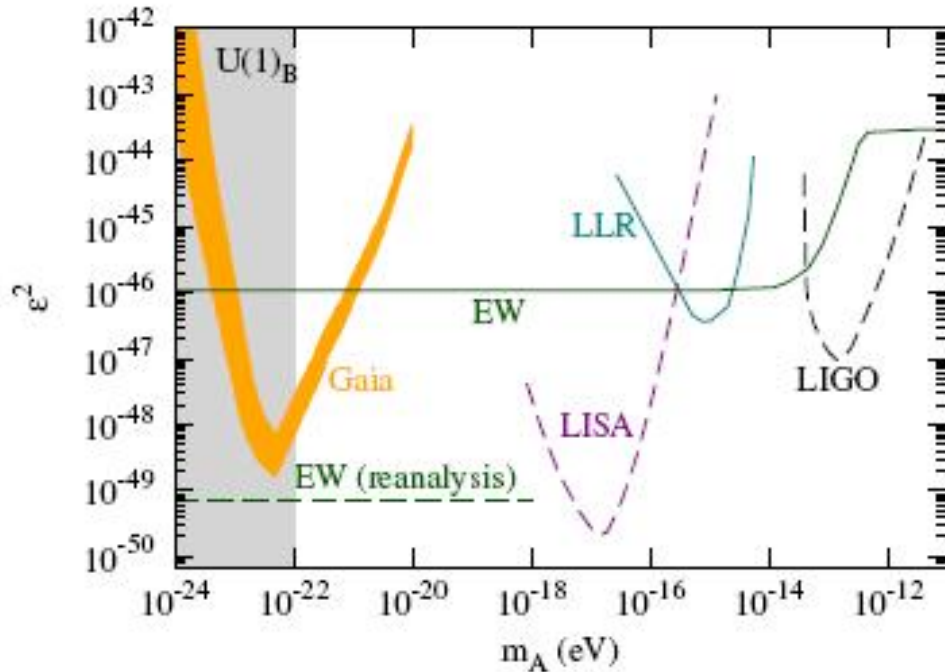
模拟和参数重建



Guo, Ma, Shu, Xue, QY, Zhao, 2019, JCAP, 05, 015

Gaia对超轻暗光子的灵敏度

Guo, Ma, Shu, Xue, QY, Zhao, 2019, JCAP, 05, 015

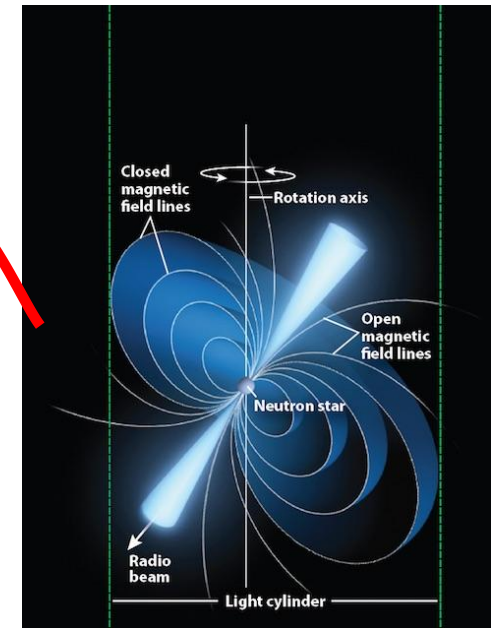
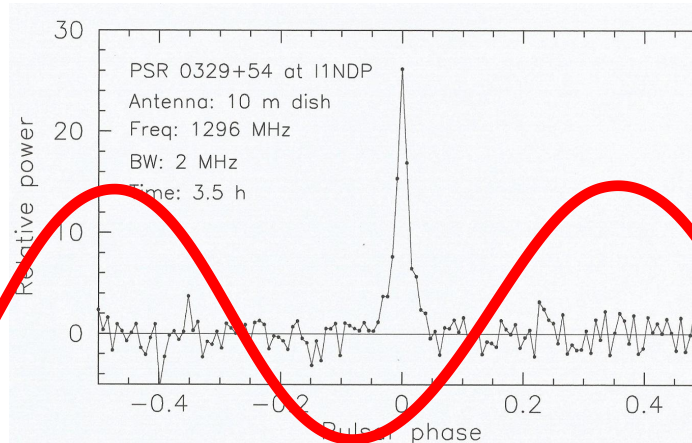


- 对 $m_A < 10^{-21}$ eV区间将达到比实验室探测更好的灵敏度
- 很低质量区间($m_A < 10^{-22}$ eV)灵敏度变差是由于长周期振荡和恒星自行的简并；高质量区间灵敏度变差是因为暗光子场振幅变小

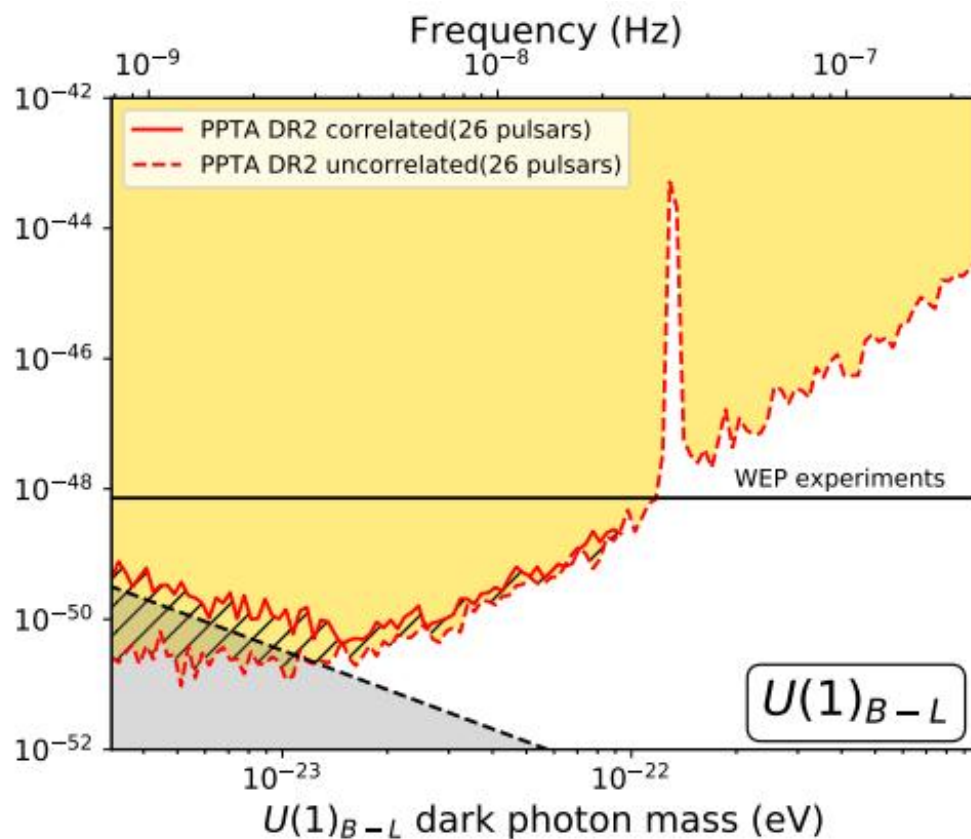
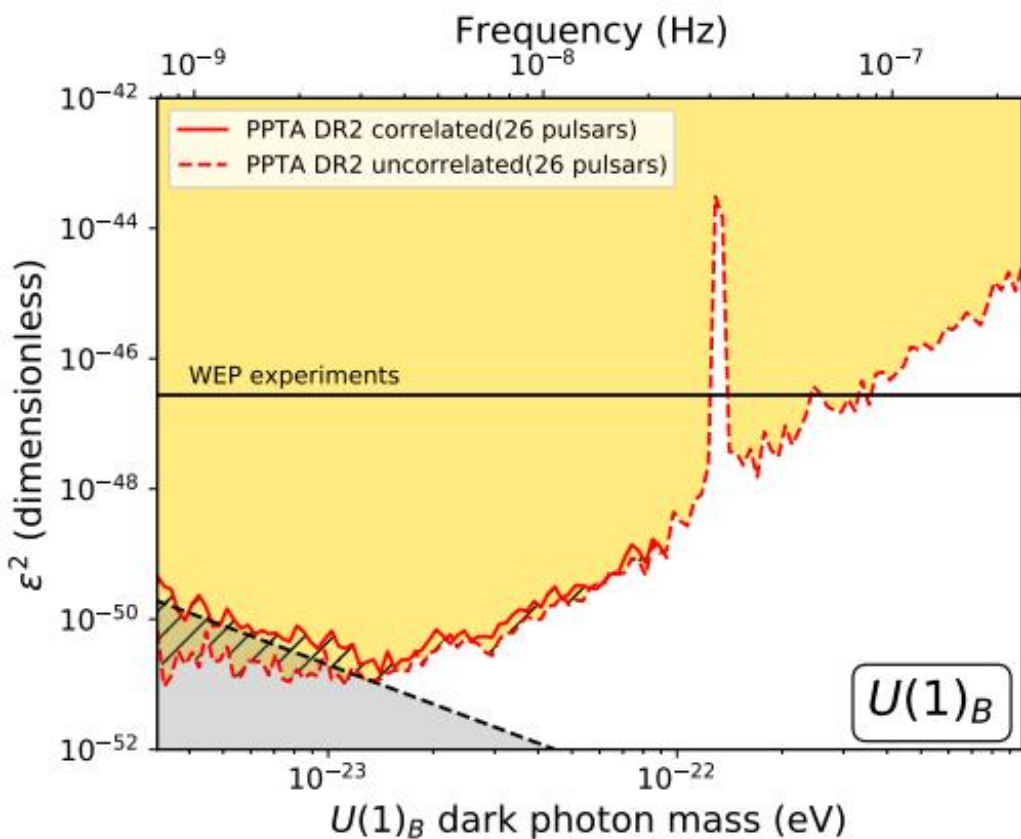
PTA探测超轻暗光子

脉冲星和地球在暗光子场中均会产生振荡，导致脉冲到达时间出现残差：

$$\delta x_{e,p}(t) \simeq -\frac{\epsilon e q}{m_A m} A_0^{e,p} \cos \left[m_A (t - t_0) + \alpha_{e,p} \right]$$
$$\Delta t_r^d(t) = \frac{\left| d + \delta x_p \left(t - \frac{|d|}{v(t)} \right) - \delta x_e(t) \right| - |d|}{v(t)}$$
$$\simeq \frac{n_p \cdot \Delta x(t)}{v(t)},$$



暗光子模型参数限制



Xue et al., with PPTA
(2022, Phys. Rev. Res., 4, L012022)

天文观测的发展趋势

- **测量准**：空间分辨率高、时间分辨率高、能量分辨率高
- **样本多**：大视场、大深度、高采样
- **手段全**：全波段、多信使

天文精测在暗物质粒子探测中发挥的重要作用
越来越得以凸显！

总结 & 展望

- 暗物质候选体形形色色，跨越非常大的能段，实验探测具有很大挑战
- 天文观测是通常粒子物理实验方法的重要补充，而且更为重要的是天文观测可以覆盖比实验室探测更宽的质量范围，探索更多的可能性
- 未来的天文学观测将更倾向于大数据、高精度、高分辨、全波段，将在暗物质探测领域大有可为
- 中国的机会：FAST、LHAASO、SKA、CSST、ngEHT、eXTP、VLAST